



## بهره‌گیری از روش‌های پارامتری تک متغیره و ناپارامتری در تجزیه پایداری عملکرد قند هیبریدهای چغندر قند (*Beta vulgaris L.*)

علی صارمی‌راد<sup>۱</sup> و داریوش طالقانی<sup>۲</sup>

۱- دکتری تخصصی، گروه زراعت و اصلاح نباتات، دانشگاه آزاد اسلامی، واحد کرج، باشگاه پژوهشگران و نخبگان جوان، کرج، ایران،

(نویسنده مسؤل: Asaremrad@gmail.com)

۲- دانشیار مؤسسه تحقیقات اصلاح و تهیه بذر چغندر قند- سازمان تحقیقات، آموزش و ترویج کشاورزی، کرج، ایران

تاریخ دریافت: ۱۴۰۰/۹/۷ تاریخ پذیرش: ۱۴۰۰/۹/۲۳

صفحه: ۴۹ تا ۶۳

### چکیده مبسوط

**مقدمه و هدف:** قند یک ماده مقوی است که سبب تولید بخش اعظمی از انرژی در جیره غذایی جمعیت کره زمین می‌شود. جایگاه چغندر قند در تأمین بخشی از قند مورد نیاز جامعه بشری بر کسی پوشیده نیست. با توجه به نیاز جامعه، اصلاح هیبریدهای چغندر قندی که به لحاظ کمی و کیفی از مقادیر قند بالایی برخوردارند، یک امر اجتناب‌ناپذیر است. در این میان علاوه بر ژنتیک گیاه و عوامل محیطی، برهمکنش میان ژنوتیپ- محیط با تأثیر بر جنبه‌های مختلف فرآیندهای گیاهی، نهایتاً عدم یکنواختی عملکرد در شرایط محیطی مختلف را باعث می‌شود. از این رو، مطالعه حاضر با هدف بررسی تأثیر برهمکنش ژنوتیپ- محیط بر پایداری هیبریدهای مختلف چغندر قند در شرایط محیطی متفاوت به مرحله اجرا درآمد.

**مواد و روش‌ها:** تعداد ۱۵۵ هیبرید چغندر قند، در نتیجه تلاقی میان ۱۵۵ لاین اینبرد با سینگل کراس نرعیق منوزم تجاری تحت کد 7112×SB36 حاصل شد. هیبریدهای منوزم در قالب طرح آماری مقایسه عملکرد مقدماتی (آگمنت) به همراه یک شاهد داخلی (سینا) و چهار شاهد خارجی (نوودورا، مودکس، لوریکوئیت و پیرولا) در هفت منطقه خوی، شیراز، کرج، کرمانشاه، مشهد، میاندوآب و همدان در سال ۱۳۹۹ کشت شدند. پس از برداشت محصول و برآورد عملکرد قند مربوط به هر یک از هیبریدهای آزمایشی، تجزیه پایداری ویژگی مذکور با به‌کارگیری روش‌های پارامتری تک متغیره و ناپارامتری انجام شد.

**یافته‌ها:** تجزیه پایداری عملکرد قند هیبریدها بر اساس آماره‌های پارامتری ضریب تغییرات محیطی هیبریدهای ۱۴۶، ۱۳۹ و ۴۷، اکووالانس ریک هیبریدهای ۶ و ۱۸، ضریب رگرسیون فیلی و ویلکینسون هیبریدهای ۱۲۶ و ۱۰۰، ضریب تبیین پنتوس هیبریدهای ۵۲، ۱۱۹، ۱۰۴، ۶ و ۵۹ و مدل رگرسیونی پرکینز و جینکز هیبریدهای ۸ و ۱۴۳ را به‌عنوان پایدارترین هیبریدها معرفی کردند. آماره‌های ناپارامتری مجموع رتبه کنگ هیبرید ۹۶ و رقم لوریکوئیت، معیار بیشینه فاکس رقم پیرولا، معیارهای هان هیبریدهای ۹۶ و ۱۸ و رقم لوریکوئیت و معیارهای ترازو هیبریدهای ۱۸، ۶۳ و ۱۲۷ و رقم سینا را تحت عنوان ژنوتیپ‌هایی که از پایداری مناسبی برخوردارند، معرفی نمودند.

**نتیجه‌گیری:** نتایج به‌دست‌آمده از مطالعه حاضر، حاکی از این بود که برهمکنش ژنوتیپ- محیط، ویژگی‌های کمی و کیفی عملکرد قند هیبریدهای چغندر قند را تحت‌الشعاع قرار می‌دهد، لذا هنگام اصلاح هیبریدهای جدید باید این موضوع مد نظر قرار گیرد؛ زیرا برآورد برهمکنش ژنوتیپ- محیط این امکان را فراهم می‌نماید تا در خصوص اصلاح برای سازگاری عمومی یا خصوصی که بستگی به ثبات و پایداری عملکرد در یک دامنه محدود یا گسترده‌ای از شرایط محیطی دارد، تصمیم‌گیری شود و گام مؤثری در جهت توسعه ارقام حائز پایداری و سازگاری با محیط‌های هدف طی گردد.

**واژه‌های کلیدی:** آماره، ابرهات و راسل، برهمکنش، سازگاری و چغندر قند

### مقدمه

۱۴/۱۴ درصد قرار گرفت (۸). شرایط اقلیمی همراه با خصوصیت‌های خاک از عوامل محیطی اصلی هستند که بر رشد گیاهان تأثیر می‌گذارند (۵۷). اتمسفر و آب موجود در خاک، دما و بافت خاک به همراه عوامل دیگری مانند pH خاک و وضعیت مواد مغذی آن، می‌تواند بر رشد گیاهان تأثیرگذار باشد (۳۷). خاک با تأکید بر کربن خاک، کیفیت آب و محتوای آن نقش عمده‌ای را در چرخه زندگی گیاه ایفا می‌نماید؛ به‌طوری که اغلب مشکلاتی مانند کمبود مواد مغذی، تنش آبی و سمیت که در گیاهان رخ می‌دهد، ناشی از آن است. ساختار خاک نه‌تنها بر رشد گیاهان بلکه بر توانایی آن‌ها در جذب مواد مغذی و آب نیز تأثیر می‌گذارد (۴۵). هر محیطی ویژگی‌های خاک و شرایط آب و هوایی خاص خود را دارد که می‌تواند بر بهره‌وری تولید محصولات کشاورزی سایه افکند؛ بنابراین، در نظر گرفتن تأثیر محیط در هنگام بررسی مناسب‌ترین کشت الزامی است. برهمکنش ژنوتیپ- محیط پدیده‌ای است که به پاسخ مختلف ژنوتیپ‌ها در طیف وسیعی از محیط‌ها اشاره دارد (۲۵،۲۸) و در سطح جهانی توسط همه افرادی که در حوزه اصلاح و نگهداری گیاهان زراعی فعالیت دارند، شناخته شده است، زیرا این پدیده برای به‌نژادگران

چغندر قند یک محصول بسیار مهم و تخصصی کشاورزی است که صرفاً در صنعت قند مورد استفاده قرار می‌گیرد. ریشه آن حاوی درصد بالایی از ساکارز است که به‌عنوان ماده اولیه اصلی برای تولید قند محسوب می‌شود. این گیاه نزدیک به ۲۰ درصد از تولید سالیانه قند جهان را به خود اختصاص می‌دهد (۴۱،۵۰). علاوه بر قند، چغندر قند منبعی برای مجموعه‌ای از محصولات مبتنی بر کربوهیدرات از جمله سوخت زیستی (۱۱) و مواد دارویی جایگزین‌کننده خون (۳۴) می‌باشد. بر اساس آخرین آمار سازمان خواروبار جهانی (۱۴) که مربوط به سال زراعی ۲۰۱۹ است، ایران رتبه دوازدهم جهانی را در تولید محصول چغندر قند دارا می‌باشد. در ایران طی سال زراعی ۹۸-۱۳۹۷، محصولات صنعتی با سطح برداشت نزدیک به ۶۳۸۴۰۰ هکتار، معادل ۵/۴ درصد از کل سطح برداشت محصولات زراعی کشور را به خود اختصاص دادند (۷). در این میان چغندر قند با سطح برداشت بیش از ۸۰۰۰۰ هکتار یعنی تخصیص ۱۲/۵۴ درصد از سطح برداشت محصولات صنعتی به خود، در رتبه سوم سطح برداشت محصولات صنعتی پس از کلزا با ۳۳/۵۴ درصد و پنبه با

شاخص برتری فاکس (۱۹)، معیارهای هان (۲۳)، نصار و هان (۴۳) و نیز معیارهای تنارزو (۵۹) ارائه گردیده است. در روش‌های ناپارامتری نیازی به صدق فرضیه‌های نرمال و مستقل بودن داده‌های آزمایشی و یا تجانس واریانس خطا در آزمایش‌های مختلف نیست (۲۴). از طرفی تجزیه و تحلیل و نیز تفسیر نتایج به‌دست‌آمده از این روش‌ها بسیار ساده می‌باشد (۲۴).

در مطالعه حاضر سعی گردید تا از مزایای روش‌های پارامتری تک متغیره و ناپارامتری به‌منظور ارزیابی پایداری عملکرد قند هیبریدهای مقدماتی چغندر قند و گزینش هیبریدهای مناسب، استفاده گردد.

### مواد و روش‌ها

تعداد ۱۵۵ لاین اینبرد با سینگل کراس نرعیقیم منوژرم تجاری با کد 7112×SB36 در سال ۱۳۹۸ تلاقی داده شدند. تعداد ۱۵۵ هیبرید تست کراس جدید به‌دست آمده از این تلاقی، مواد ژنتیکی پژوهش حاضر را تشکیل دادند که مشخصات والدی این هیبریدها در جدول ۲ قابل مشاهده است. هیبریدهای منوژرم تولیدی در قالب طرح آماری مقایسه عملکرد مقدماتی (Augmented design) به همراه یک شاهد داخلی سینا و نیز چهار شاهد خارجی نووودورا (Novodora)، مودکس (Modex)، لوریکوئیت (Loriquet) و پیرولا (Pirola) در پنج بلوک ناقص در هر یک از هفت ایستگاه تحقیقات چغندر قند خوی، شیراز، کرج، کرمانشاه، مشهد، میاندوآب و همدان کشت شدند. مشخصات کامل مکان‌های اجرای آزمایش اعم از طول جغرافیایی، عرض جغرافیایی و ارتفاع از سطح دریا و نیز ویژگی‌های آب و هوایی نظیر دمای حداقل، دمای حداکثر و مجموع بارندگی در جدول ۱ ارائه گردیده است.

عملیات آماده‌سازی زمین کشت شامل شخم، دیسک و ایجاد ردیف کاشت بود. هر کرت آزمایشی شامل یک خط به طول هشت متر و فاصله بین ردیف ۵۰ سانتی‌متر در نظر گرفته شد. پس از آماده‌سازی بستر کشت با در نظر گرفتن شرایط آب و هوایی هر یک از مناطق اجرای آزمایش، طی دو هفته آخر اردیبهشت ۱۳۹۹ عمل کشت آزمایش در هفت منطقه تحت بررسی با استفاده از دستگاه آبیور انجام شد. در هر بلوک ناقص، کشت کلیه ارقام شاهد داخلی و خارجی یک‌بار تکرار شد. در آزمایش هر یک از مناطق، بر روی ردیف‌های کشت تعداد بذر بیشتری قرار داده شد که پس از سبز شدن و در مرحله دو تا چهار برگگی تنک گردیدند و به تراکم ۱۲۰۰۰۰ بوته در هکتار رسانده شدند. آبیاری به روش نواری قطره‌ای (تیپ) و مطابق نیاز گیاهان در هر یک از هفت منطقه تحت بررسی انجام شد. مبارزه با علف‌های هرز پهن‌برگ و نازک برگ مزارع با وجین دستی انجام گرفت. به‌منظور ردیابی و پیشگیری از حمله آفات چغندر قند، مزرعه به‌صورت مرتب تحت بازدید قرار گرفت. در این راستا از تله نوری فرمونی نیز بهره برده شد. پروانه برگ‌خوار کارادرینا، تنها آفتی بود که در بعضی از ایستگاه‌های تحقیقاتی به گیاهان حمله‌ور شد و برای جلوگیری از خسارت و مبارزه با آن

گیاهی از حیث آزادسازی ارقام جدید و پر محصول دارای اهمیت ویژه‌ای می‌باشد. ویژگی‌های کمی نظیر عملکرد که از نظر اقتصادی و زراعی مهم هستند، می‌توانند به‌طور قابل توجهی تحت‌تأثیر برهمکنش ژنوتیپ-محیط قرار گیرند. شناخت حقیقت پدیده مذکور این امکان را برای به‌نژادگران فراهم می‌آورد تا بتوانند در ارزیابی و آزادسازی ژنوتیپ‌ها، دقت بیش‌تری کرده و ژنوتیپ‌هایی را انتخاب نمایند که از نظر تولید محصول مطلوب هستند. به‌طور کلی، برهمکنش ژنوتیپ و محیط اگر تغییر در رتبه ژنوتیپ‌ها را سبب نگردد، قابل چشم‌پوشی است؛ اما اگر تغییر محیط، تغییر در رتبه ژنوتیپ‌ها را به همراه داشته باشد، غیرقابل چشم‌پوشی بوده و باید مورد بررسی و مطالعه قرار گیرد (۴۸).

در مجموع، ژنوتیپ‌ها به شکل متفاوتی با محیط‌های مختلف سازگار می‌شوند، لذا ارزیابی هر یک از آن‌ها با توجه به اهداف می‌تواند تفاوت‌هایی داشته باشد (۹). این ارزیابی‌ها برای معتبر بودن به یک سری آزمایش‌های محیطی چندگانه در مرحله گزینش پیشرفته نیاز دارند (۶). هر ژنوتیپ باید برای چندین سال در چندین مکان مختلف ارزیابی شود تا ژنوتیپ‌های با عملکرد بالا و پایدار را بتوان در هنگام رشد و نمو در محیط‌های مختلف شناسایی کرد و برای کشت در مناطق هدف، توصیه نمود. در این خصوص آزمایش‌های ناحیه‌ای در بسیاری از کشورها در قالب برنامه‌های آزمایش ژنوتیپ‌ها برای نتایج قابل اعتمادتر انجام می‌شوند. با کشت ژنوتیپ‌ها در محیط‌های مختلف، پاسخ‌های ژنوتیپی متفاوتی ثبت می‌شود که می‌توان یک هیبرید برتر و پایدار را بر پایه تجزیه و تحلیل این اطلاعات به شکل صحیح شناسایی نمود (۵۶).

روش‌های آماری متعددی برای تجزیه و تحلیل اطلاعات حاصل از آزمایش‌های ناحیه‌ای و مطالعه ماهیت برهمکنش ژنوتیپ-محیط توسط محققین ارائه شده است که به‌طور کلی در دو گروه روش‌های پارامتری و ناپارامتری جای می‌گیرند (۳۰). روش‌های پارامتری خود مشتمل بر روش‌های آماری تک متغیره و چند متغیره می‌باشند. روش‌های مبتنی بر تجزیه واریانس و تجزیه رگرسیون در گروه روش‌های تک متغیره طبقه‌بندی می‌گردند. ضریب تغییرات محیطی (۲۰)، اکووالانس ریک (۶۰)، واریانس محیطی (۵۲) و واریانس پایداری (۵۵) در زمره پرکاربردترین روش‌های مبتنی بر تجزیه واریانس و ضریب رگرسیونی فیلی و ویلکینسون (۱۷)، ضریب تبیین پنتوس (۴۷)، انحراف از خط رگرسیون ابره‌ارت و راسل (۱۳)، رگرسیون تصحیح‌شده پرکینز و جینکز (۴۶) و انحراف از شیب‌خط رگرسیون مستقل فریمن و پرکینز (۲۱) از جمله روش‌های پرکاربرد مبتنی بر تجزیه رگرسیون می‌باشند که در تجزیه پایداری گندم (۲،۴۰)، کلزا (۵)، برنج (۲۲)، چغندر قند (۴۹) و بسیاری از گیاهان زراعی دیگر (۳۹، ۵۸، ۶۱) به کار گرفته شده‌اند.

در خصوص اینکه قدرت ارزیابی پایداری روش‌های پارامتری در قیاس با روش‌های ناپارامتری بیشتر است، ابهامی وجود ندارد (۵۱)، اما گزارش‌های مختلفی (۲۴، ۳۶) نیز در رابطه با مزایای روش‌های ناپارامتری مجموع رتبه کنگ (۲۷)،

خودکار تجزیه کیفیت چغندر قند) برای اندازه‌گیری درصد ناخالص قند به کار گرفته شد (۳۳) و در نهایت از مقادیر به‌دست‌آمده برای این ویژگی، جهت تخمین عملکرد ناخالص قند استفاده شد. بدین منظور ابتدا عملکرد ریشه هر یک از هیبریدها در هر یک از آزمایش‌ها به تن در هکتار تعمیم داده شد و با قرار دادن مقادیر آن‌ها در رابطه ۱ عملکرد ناخالص قند به دست آمد.

رابطه ۱:

$$SY = \left(\frac{SC}{100}\right) \times RY$$

در این رابطه SY عملکرد ناخالص قند بر حسب تن در هکتار، SC درصد عیار قند بر حسب گرم قند در ۱۰۰ گرم چغندر قند و RY عملکرد ریشه بر حسب تن در هکتار می‌باشد.

چندین مرحله سم‌پاشی صورت پذیرفت و نهایتاً پیش از ایجاد خسارت، کنترل گردید. عملیات برداشت آزمایش‌ها در همه هفت ایستگاه تحقیقاتی در دهه اول آبان ماه سال ۱۳۹۹ با شمارش و توزین ریشه‌های کرت‌های آزمایشی انجام شد. پس از شستشوی ریشه‌ها، به‌طور تصادفی از ریشه‌های هر کرت با استفاده از دستگاه اتوماتیک و نما نمونه خمیر تهیه گردید و در آزمایشگاه کنترل کیفی ستاد مؤسسه تحقیقات اصلاح و تهیه بذر چغندر قند از نظر ویژگی درصد ناخالص قند مورد بررسی قرار گرفتند. بدین منظور نمونه‌های خمیر تهیه‌شده پس از خارج شدن از حالت انجماد، از هر یک ۲۶ گرم خمیر با ۱۷۷ میلی‌لیتر سو استات سرب (II) (lead hydroxide acetate) به مدت سه دقیقه در داخل همزن مخلوط گردید. پس از گذراندن محلول از صافی، مایع شفاف حاصل شد که از آن در دستگاه بتالایزر (Betalyser، سیستم

جدول ۱- مشخصات جغرافیایی ایستگاه‌های تحقیقاتی اجرای آزمایش

Table 1. Geographical characteristics of the experimental research stations

ردیف	ایستگاه تحقیقاتی	ارتفاع از سطح دریا (متر)	عرض جغرافیایی (درجه: دقیقه)	طول جغرافیایی (درجه: دقیقه)	دمای حداقل (درجه سانتی‌گراد)	دمای حداکثر (درجه سانتی‌گراد)	میزان بارندگی (میلی‌متر)
۱	خوی	۱۱۳۶	۲۸:۳۳	۴۴:۵۷	۴	۴۲	۱۲۷
۲	شیراز	۱۴۸۴	۲۹:۳۲	۵۲:۳۶	۴	۴۱	۵۱
۳	کرج	۱۳۱۲	۳۵:۵۵	۵۰:۵۴	۵/۸	۴۰	۵۶
۴	کرمانشاه	۱۳۵۱	۳۴:۱۹	۴۷:۰۴	۳	۴۲	۴۱
۵	مشهد	۱۳۱۶	۳۶:۳۰	۵۹:۳۷	۱/۹	۴۱	۴۳
۶	میاندوآب	۱۲۹۶	۳۶:۵۸	۴۶:۰۵	۴/۷	۴۱	۴۳
۷	همدان	۱۸۱۸	۳۴:۴۷	۴۸:۳۰	-۱	۳۸	۵۰

مقدار ۳/۱۸ تن در هکتار تعلق داشت. عملکرد قند هیبرید شماره ۱۰۸ برابر با ۱۱/۹۱ تن در هکتار بود که در نقطه میانگین عملکرد قند همه هیبریدها در تمامی محیط‌ها قرار داشت. در روش ضریب تغییرات محیطی (CV<sub>i</sub>)، ژنوتیپ‌های پایدار، ژنوتیپ‌هایی هستند که دارای ضریب تغییرات محیطی کم‌تری باشند. بر اساس روش ذکرشده، به ترتیب هیبریدهای شماره ۱۴۶، ۱۳۹ و ۴۷ دارای کم‌ترین مقادیر ضریب تغییرات محیطی بودند و به‌عنوان هیبریدهای پایدار شناخته شدند؛ لذا می‌توان اذعان نمود که این هیبریدها دارای پایداری بیولوژیکی بوده و از انعطاف‌پذیری بالایی برای کشت در کلیه مناطق اجرای آزمایش برخوردار می‌باشند. بیشترین میزان ضریب تغییرات محیطی مربوط به هیبرید شماره ۲۳ بود که نشان‌دهنده نوسان عملکرد این هیبرید و پایداری کم آن در محیط‌های مورد آزمایش می‌باشد.

نتایج حاصل از اکووالانس ریک و واریانس پایداری شوکلا حاکی از آن بود که این دو روش مشابه هم هستند و ترجیحاً می‌توان از یکی از این دو معیار استفاده کرد. این نتایج با نتیجه‌گیری زالی و همکاران (۶۱)، مطابقت داشت. در حقیقت واریانس پایداری شوکلا یک ترکیب خطی از اکووالانس ریک است، لذا این دو از نظر رتبه‌بندی ژنوتیپ‌ها ارزش یکسانی دارند (۱۵). در این راستا کانگ و میلر (۲۶) پیشنهاد کردند که از بین دو روش ریک و شوکلا، ترجیحاً اکووالانس ریک استفاده شود. روستایی و همکاران (۵۳)، برآورد پارامترهای پایداری برای انتخاب ژنوتیپ‌های برتر را مقایسه نمودند و اظهار داشتند که روش ریک و شوکلا با شناسایی ژنوتیپ‌های

به‌منظور تجزیه پایداری هیبریدها بر اساس عملکرد قند که از اهمیت بسیاری در توسعه کشت هیبریدهای چغندر قند برخوردار است، از روش‌های تجزیه پایداری پارامتری تک متغیره ضریب تغییرات محیطی فرانسیس و کانبرگ (۲۰)، اکووالانس ریک (۶۰)، ضریب رگرسیونی فیلی و ویلکینسون (۱۷)، ضریب تبیین پنتوس (۴۷)، انحراف از خط رگرسیون ابرهات و راسل (۱۳)، رگرسیون تصحیح‌شده پریکنز و جینکز (۴۶) و انحراف از شیب خط رگرسیون مستقل فریمن و پریکنز (۲۱)، روش‌های ناپارامتری مجموع رتبه کنگ (۲۷)، شاخص برتری فاکس (۱۹)، معیارهای هان (۲۳)، نصار و هان (۴۳) و نیز معیارهای تارازو (۵۹) استفاده شد. برای محاسبه روش‌های ذکرشده نرم‌افزارهای R و Excel مورد استفاده قرار گرفتند.

## نتایج و بحث

### تجزیه پایداری عملکرد قند بر اساس روش‌های پارامتری

میانگین عملکرد هیبریدها در هفت ایستگاه تحقیقاتی و نتایج حاصل از تجزیه پایداری عملکرد قند هیبریدهای چغندر قند آزمایشی بر اساس روش‌های پارامتری تک متغیره در جدول ۲ ارائه شده است. میانگین عملکرد قند ژنوتیپ‌ها در همه محیط‌ها برابر ۱۱/۹۱ تن در هکتار برآورد شد. هیبرید شماره ۹۶ و رقم شاهد پیرولا به ترتیب بیشترین عملکرد قند را به میزان ۱۵/۱۱ و ۱۵/۰۸ تن در هکتار به خود اختصاص دادند. پایین‌ترین میزان عملکرد قند به هیبرید شماره ۲۳ با

به‌شدت وابسته به میانگین مربعات انحراف از رگرسیون است. ابرهات و راسل (۱۳) عقیده داشتند برای بررسی ارزیابی ارقام در آزمایش‌های ناحیه‌ای عملکرد، علاوه بر ضریب رگرسیون خطی (رگرسیون خطی ساده فینلی و ویلکینسون) و میانگین عملکرد، باید به مقدار باقیمانده مدل رگرسیونی نیز توجه کرد. از این‌رو هرچه مقدار باقیمانده کمتر باشد رقم پایدارتر است. با توجه به مقدار باقیمانده، دو هیبرید ۱۲۳ و ۶ دارای کم‌ترین مقادیر و هیبرید شماره ۱۵۲ دارای بیشترین مقدار باقیمانده بود. با توجه به مقدار باقیمانده مدل ابرهات و راسل، میانگین عملکرد و ضریب رگرسیونی، هیبرید شماره ۶ از پایداری خوبی برخوردار بود (جدول ۲).

کاربرد مدل رگرسیونی پرکینز و جینکز و تفسیر آن مشابه روش فینلی و ویلکینسون است. مدل پرکینز و جینکز جزء نوع دوم پایداری می‌باشند. این پارامتر نیز بیانگر نحوه برازش مدل رگرسیونی است و از آن برای بررسی پایداری نباید استفاده کرد و بهتر است برای تعیین وسعت کشت از آن استفاده شود (۳۵). در این مدل هرچه میزان این آماره برای یک ژنوتیپ در بین ژنوتیپ‌ها کمتر باشد، پایدارتر است (۴۶). هیبریدهای شماره ۸ و ۱۴۳ کمترین میزان این آماره و هیبرید شماره ۱۲۶ بیشترین میزان این آماره را به خود اختصاص دادند، لذا با توجه به این روش، هیبریدهای شماره ۸ و ۱۴۳ پایدار و هیبرید شماره ۱۲۶ ناپایدار است (جدول ۲). ضریب رگرسیونی فریمن و پرکینز از روش‌های دیگر رگرسیونی است. در این روش ضریب رگرسیونی فریمن و پرکینز برای دو هیبرید شماره ۸ و ۱۴۳ بالا بود، بنابراین هیبریدها مذکور را بر اساس این مدل می‌توان هیبریدهای پایدار معرفی نمود (۲۱). هیبریدهای شماره ۵۲، ۵۹ و ۱۱۹ که دارای ضریب رگرسیونی فریمن و پرکینز پایینی هستند، ناپایدارترین هیبریدها بر طبق این روش محسوب می‌شوند (جدول ۲).

### تجزیه پایداری عملکرد قند بر اساس روش‌های ناپارامتری

آماره‌های ناپارامتری تجزیه پایداری شامل مجموع رتبه کنگ (۲۷)، شاخص برتری فاکس (۱۹)، معیارهای هان (۲۳)، نصار و هان (۴۳) و نیز معیارهای تنارازو (۵۹)، جهت مقایسه پایداری هیبریدها و گزینش هیبریدهای پایدار بر اساس عملکرد قند در مواد گیاهی آزمایشی مورد استفاده قرار گرفتند. پراکنش ژنوتیپ‌های آزمایشی چغندر قند بر اساس میانگین عملکرد قند و مقادیر مجموع رتبه کنگ (۲۷) در شکل ۱ قابل مشاهده می‌باشد. محور افقی میانگین عملکرد قند بر حسب تن در هکتار و محور عمودی مقادیر مربوط به مجموع رتبه کنگ (حاصل از رتبه‌بندی عملکرد قند هیبریدها و واریانس پایداری شوکلا) را نشان می‌دهد. هیبریدهایی که برهمکنش ژنوتیپ-محیط زیادی داشته باشند، از مقادیر مجموع رتبه بالایی برخوردار خواهند بود. در مقابل هیبریدهایی که مجموع رتبه نزدیک به صفر و یا صفر داشته باشند، دارای برهمکنش ژنوتیپ-محیط بسیار پایین و یا بدون برهمکنش ژنوتیپ-محیط خواهند بود (۲۷). بر اساس این بای‌پلات هیبریدهای شماره ۳۶، ۲۶ و ۶۹ ناپایدار بسیار بالایی برخوردار بودند. در خصوص ژنوتیپ‌ها، اگر ژنوتیپی کم‌تر

پایدار و پر محصول به‌عنوان معیارهای پایداری، مطلوب‌تر هستند. در پژوهش حاضر به بررسی مواد گیاهی از نظر معیار اکووالانس ریک پرداخته شد. بر اساس نتایج حاصل از این روش هیبریدهای شماره ۶ و ۱۸ به ترتیب به علت داشتن کم‌ترین مقادیر اکووالانس ریک، هیبریدهای پایدار از نظر روش مذکور شناخته شدند. درحالی‌که هیبرید ۱۵۲ با دارا بودن بالاترین میزان اکووالانس ریک به‌عنوان ناپایدارترین هیبرید شناخته شد (جدول ۲)؛ بنابراین با توجه به نتایج، هیبریدهای شماره ۶ و ۱۸ با میانگین عملکرد قند ۱۲/۶۲ و ۱۳/۱۲ تن در هکتار، به‌عنوان هیبریدهای پایدار با عملکرد بالاتر از میانگین کل (۱۱/۹۱ تن در هکتار) شناخته شدند.

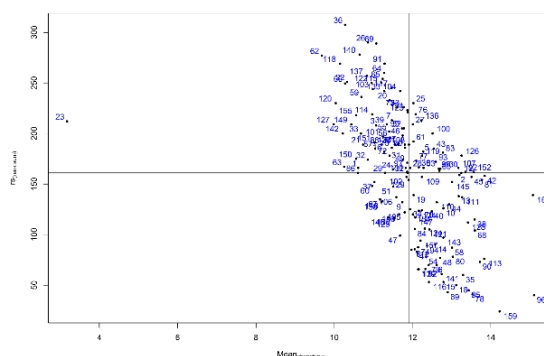
روش‌های رگرسیونی کاربرد وسیعی در ارزیابی پایداری و مطالعه برهمکنش ژنوتیپ-محیط دارند و این امر موجب گردید که در پژوهش حاضر نیز از پارامترهای متعدد رگرسیونی استفاده شود. پارامترهای محاسبه‌شده در جدول ۲ آورده شده است. در روش فینلی و ویلکینسون برای تعیین پایداری ژنوتیپ‌ها از ضریب رگرسیون و عملکرد ژنوتیپ‌ها استفاده می‌شود؛ به‌طوری‌که از میانگین همه ژنوتیپ‌ها در تمامی محیط‌ها برای تعیین شاخص محیطی استفاده نموده و سپس از عملکرد هر ژنوتیپ در مقابل شاخص محیطی رگرسیون گرفته می‌شود (۱۷). در این روش ژنوتیپ‌هایی که ضریب رگرسیون آن‌ها بالای یک باشد، دارای پایداری مناسب برای شرایط مطلوب، ژنوتیپ‌هایی که دارای ضریب رگرسیونی یک هستند، پایداری متوسط و ژنوتیپ‌هایی که دارای ضریب رگرسیونی کمتر از یک هستند، پایداری بیولوژیک برای شرایط نامطلوب دارند (۱۷). بر اساس این روش دو هیبرید شماره ۱۲۶ و ۱۰۰ به ترتیب با مقادیر ۲/۳۷ و ۲/۱۸ دارای بالاترین ضرایب رگرسیونی بوده و هیبریدهای مناسب برای محیط‌های با شرایط خوب شناخته شدند. دو هیبرید ۵۶ و ۸۷ از پایداری متوسطی برخوردار بودند. هیبریدهای شماره ۸ و ۱۴۳ دارای پایداری بیولوژیک خوب بوده و برای مناطق فقیر (شرایط نامطلوب) قابل توصیه می‌باشند.

از دیگر مدل‌های رگرسیونی ضریب تبیین (یا تشخیص) پنتوس می‌باشد که برای بهبود تصمیم‌گیری بر اساس مدل رگرسیونی پیشنهاد شده است و هرچه مقدار این ضریب بیشتر باشد اعتبار مدل رگرسیونی بالاتر است (۴۷). روش پینتوس نشان داد که هیبریدهای شماره ۵۲، ۱۱۹، ۱۰۴، ۶ و ۵۹ به علت داشتن بیشترین ضرایب تبیین، به‌عنوان پایدارترین هیبریدها می‌باشند. البته باید تأکید نمود که ضریب تبیین به‌تنهایی نمی‌تواند معرف ژنوتیپ‌های پایدار باشد، چون این روش فقط برازش مدل رگرسیونی را نشان می‌دهد. پس این روش فقط با روش رگرسیونی قابل توجیه است. آکورا و همکاران (۴)، در تحقیقات خود نشان دادند که بخش قابل توجهی از برهمکنش ژنوتیپ-محیط، توسط انحراف از رگرسیون تبیین می‌شود و تنها بخش کوچکی از برهمکنش ژنوتیپ-محیط توسط رگرسیون خطی قابل توجیه است. پنتوس (۴۷) پیشنهاد کرد که به‌جای میانگین مربعات انحراف از رگرسیون از ضریب تشخیص استفاده شود؛ زیرا این ضریب

شاخص بیشینه (Top)، متوسط (Mid) و کمینه (Low) را که از نقطه ۰/۱۳ می‌گذرد را نشان می‌دهد. در این نمودار ژنوتیپی که در دارای بیشترین آماره بیشینه است، ژنوتیپ مطلوب‌تری خواهد بود، زیرا این ژنوتیپ هم عملکرد بالایی دارد و هم پایدار است (۱۹). در این مطالعه رقم شاهد پیرولا بیش‌ترین پایداری را دارا بود و ژنوتیپ پر محصول محسوب شد، زیرا عملکردی بیش از میانگین کل داشته و از نظر معیار بیشینه بالاترین مقدار را داشت. در مطالعات مختلفی (۱،۵۴) به همبستگی بین آماره بیشینه و عملکرد بالا اشاره شده است، به‌نوعی که در اکثر موارد، ژنوتیپ‌های پایدار بر اساس آماره بیشینه از نظر میانگین عملکرد نیز بالا بودند که مطابق با مطالعه حاضر هستند؛ البته در برخی دیگر از آزمایش‌ها (۴۲) چنین موضوعی ملاحظه نشد. وجود این موارد ضد و نقیض در نتایج آماره‌های مختلف پایداری باعث شده است که تاکنون یک روش واحد برای تجزیه و تحلیل پایداری که مورد تأیید همه یا بخش اعظمی از محققین باشد، ارائه نشود (۱۸).

تحت تأثیر محیط قرار گیرد، به عبارتی از برهمکنش ژنوتیپ-محیط پایینی برخوردار باشد، مطلوب‌تر است و پایداری بیشتری خواهد داشت. رقم شاهد لوریکوتیت و هیبریدهای شماره ۹۶، ۷۸، ۹۵، ۸۹ و ۱۸ به ترتیب دارای مجموع رتبه حداقل بوده، اما در این میان هیبرید شماره ۹۶ و رقم لوریکوتیت، علاوه بر مجموع رتبه کنگ پایین، دارای عملکرد قند بالاتری بودند، به‌طوری‌که به‌عنوان ژنوتیپ‌های پایدار با عملکرد قند بالا شناخته شدند.

در شکل ۲ بای‌پلات پراکنش ژنوتیپ‌های آزمایشی چغندر قند بر اساس میانگین عملکرد قند در برابر شاخص فاکس و همکاران (۱۹) ارائه شده است. خط عمودی میانه نمودار، از میانگین عملکرد قند کل آزمایش (۱۱/۹۱ تن در هکتار) می‌گذرد، ژنوتیپ‌ها طرف راست خط عمودی میانه نمودار، دارای عملکرد بیش از میانگین کل و ژنوتیپ‌های سمت چپ این خط دارای عملکرد قند کمتر از میانگین کل می‌باشند. محور افقی در میانه نمودار، میانگین رتبه ژنوتیپ‌ها از نظر سه

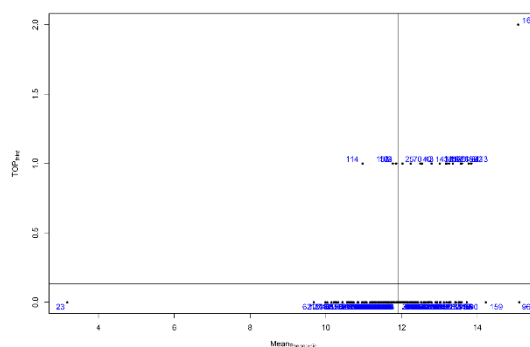


شکل ۱- نمودار پراکنش ژنوتیپ‌های آزمایشی چغندر قند بر اساس میانگین عملکرد قند و مجموع رتبه کنگ. (شماره‌های ۱ تا ۱۵۵ مربوط به هیبریدهای آزمایشی و شماره‌های ۱۵۶ تا ۱۶۰ مربوط به پنج شاهد مورد استفاده در آزمایش می‌باشد)

Figure 1. Distribution chart of experimental sugar beet genotypes based on average sugar yield and Kang rank sum. (Numbers 1 to 155 are for experimental hybrids and numbers 156 to 160 are for the five controls used in the experiment.)

نتایج مربوط به آماره‌های ناپارامتری هان (۲۳) و نصار و هان (۴۳) شامل  $S_i^{(1)}$ ،  $S_i^{(2)}$ ،  $S_i^{(3)}$  و  $S_i^{(6)}$  در جدول ۲ قابل مشاهده است. بر اساس معیار  $S_i^{(1)}$  شاهد داخلی سینا و هیبریدهای شماره ۱۷ و ۱۳۶، بر اساس معیار  $S_i^{(2)}$  هیبریدهای شماره ۶ و ۱۸ و بر اساس دو معیار  $S_i^{(3)}$  و  $S_i^{(6)}$  شاهد لوریکوتیت و هیبریدهای شماره ۹۶ و ۱۸ به دلیل اختصاص کم‌ترین مقادیر معیارهای مذکور به خود تحت عنوان ژنوتیپ‌های پایدار معرفی شدند. البته به دلیل عملکرد قند پایین رقم سینا و هیبرید شماره ۱۷ که طبق معیار  $S_i^{(1)}$  پایدار شناخته شده بودند، از گروه ژنوتیپ‌های پایدار و با عملکرد مطلوب کنار گذاشته شدند. عملکرد قند با دو معیار  $S_i^{(3)}$  و  $S_i^{(6)}$  دارای همبستگی مثبت بسیار معنی‌داری بود (شکل ۳). لذا گزینش ژنوتیپ‌های با حداقل میزان به‌وسیله این دو معیار به‌عنوان ژنوتیپ‌های پایدار، منجر به انتخاب ژنوتیپ‌های با عملکرد قند بالا می‌شود. بین عملکرد قند و

نتایج مربوط به آماره‌های ناپارامتری هان (۲۳) و نصار و هان (۴۳) شامل  $S_i^{(1)}$ ،  $S_i^{(2)}$ ،  $S_i^{(3)}$  و  $S_i^{(6)}$  در جدول ۲ قابل مشاهده است. بر اساس معیار  $S_i^{(1)}$  شاهد داخلی سینا و هیبریدهای شماره ۱۷ و ۱۳۶، بر اساس معیار  $S_i^{(2)}$  هیبریدهای شماره ۶ و ۱۸ و بر اساس دو معیار  $S_i^{(3)}$  و  $S_i^{(6)}$  شاهد لوریکوتیت و هیبریدهای شماره ۹۶ و ۱۸ به دلیل اختصاص کم‌ترین مقادیر معیارهای مذکور به خود تحت عنوان ژنوتیپ‌های پایدار معرفی شدند. البته به دلیل عملکرد قند پایین رقم سینا و هیبرید شماره ۱۷ که طبق معیار  $S_i^{(1)}$  پایدار شناخته شده بودند، از گروه ژنوتیپ‌های پایدار و با عملکرد مطلوب کنار گذاشته شدند. عملکرد قند با دو معیار  $S_i^{(3)}$  و  $S_i^{(6)}$  دارای همبستگی مثبت بسیار معنی‌داری بود (شکل ۳). لذا گزینش ژنوتیپ‌های با حداقل میزان به‌وسیله این دو معیار به‌عنوان ژنوتیپ‌های پایدار، منجر به انتخاب ژنوتیپ‌های با عملکرد قند بالا می‌شود. بین عملکرد قند و



شکل ۲- نمودار پراکنش ژنوتیپ‌های آزمایشی چغندر قند بر اساس میانگین عملکرد قند و شاخص‌های برتری فاکس. (شماره‌های ۱ تا ۱۵۵ مربوط به هیبریدهای آزمایشی و شماره‌های ۱۵۶ تا ۱۶۰ مربوط به پنج شاهد مورد استفاده در آزمایش می‌باشد)

Figure 2. Distribution chart of experimental sugar beet genotypes based on average sugar yield and Fox superiority indices. (Numbers 1 to 155 are for experimental hybrids and numbers 156 to 160 are for the five controls used in the experiment.)

پژوهش (شکل ۴) همخوانی و مشابهت دارد. بحث پایداری به دو زیرگروه مفهومی پایداری پویا (زراعی) و پایداری ایستا (آماري) تقسیم می‌شود (۱۰). نخستین بار، مفهوم پایداری بر اساس حداقل نوسان در شرایط محیطی مختلف (پایداری ایستا) ارائه شد (۱۸). بر اساس مشاهدات اکثریت آماره‌های ناپارامتری بر این مفهوم پایداری دلالت دارند. نتایج به‌دست‌آمده از آماره‌های هان و تنارازو مؤید آن است که مفاهیم پایداری در این روش‌ها بیشتر مبتنی بر مفاهیم بیولوژیکی و آماری بوده و در این روش‌ها معمولاً ژنوتیپ‌های با عملکرد پایین به‌عنوان ژنوتیپ‌های پایدار شناخته می‌شوند. در مقابل مفهوم پایداری پویا برای آماره مجموع رتبه کنگ و آماره بیشینه فاکس مطرح است. روش‌های ناپارامتری یک راهکار موازی در شرایط معمول بوده ولی در صورت برقرار نبودن مفروضات آماره‌های پارامتری، تنها راهکار موجود در دسترس برای ارزیابی برهمکنش ژنوتیپ-محیط و تعیین ژنوتیپ‌های پایدار محسوب می‌شوند (۴۲).

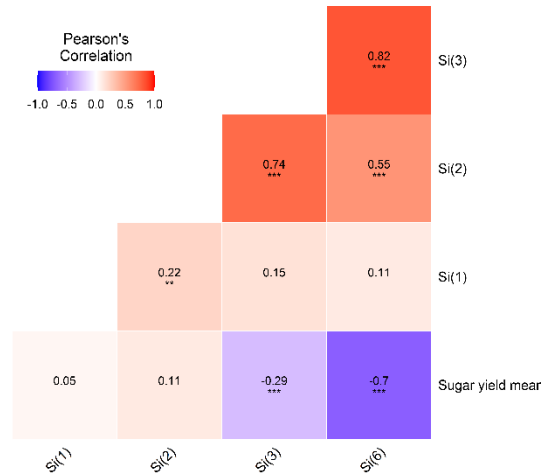
### نتیجه‌گیری کلی

ارزیابی نتایج عملکرد قند هیبریدهای مختلف، در شرایط محیطی متفاوت، موضوعی پیچیده است، زیرا پارامترهای زیادی باید در نظر گرفته شود تا به نتایج قابل اعتمادی منجر شود. در چنین آزمایش‌هایی، مطلوب است آماره‌های مختلفی استفاده شود تا اطلاعات ارزشمندی را ارائه دهند که به درک برهمکنش ژنوتیپ-محیط کمک کند. با اجماع روش‌های پارامتری تک متغیره و ناپارامتری و نیز نظر به عملکرد قند هر یک از هیبریدهای اصلاحی، پنج هیبرید حاصل از تلاقی  $S1-97008 \times (7112 \times SB36)$ ،  $S1-7112 \times SB36$ ،  $S1-960113 \times (7112 \times SB36)$ ،  $S1-960163 \times (7112 \times SB36)$  و  $S1-920128 \times (P.395 \times 940171)$  از پایداری و عملکرد قند مطلوبی برخوردار بودند. در مجموع هیبریدهای منتخب به دو گروه تقسیم شده و تعدادی از آن‌ها وارد آزمون‌های معرفی رقم گردیدند و مابقی در قالب طرح‌های تکرار دار، در چند منطقه ارزیابی تکمیلی خواهند شد، سپس بهترین‌های آن‌ها به‌عنوان رقم معرفی

بر اساس اولین آماره ناپارامتری  $NP_1^{(1)}$  تنارازو (۵۹) هیبریدهای شماره ۱۸ و ۶ با دارا بودن کمترین میزان این آماره، به‌عنوان هیبریدهای پایدار و هیبریدهای شماره ۶۲ و ۳۲ با دارا بودن بیشترین مقدار آماره مذکور، به‌عنوان هیبریدهای ناپایدار بر اساس اولین معیار تنارازو معرفی شدند (جدول ۲). بر طبق آماره دوم تنارازو  $NP_1^{(2)}$ ، هیبرید شماره ۶۳ با دارا بودن کمترین میزان این آماره به‌عنوان هیبرید پایدار و رقم پیرولا با دارا بودن بیشترین مقدار آماره مذکور، به‌عنوان ژنوتیپ ناپایدار بر اساس دومین معیار تنارازو شناخته شد. بر اساس نتایج آماره سوم تنارازو  $NP_1^{(3)}$  هیبرید شماره ۱۲۷ به دلیل دارا بودن کمترین میزان این آماره، به‌عنوان هیبرید پایدار و هیبرید شماره ۹۶ و رقم پیرولا به دلیل دارا بودن بیشترین مقدار آماره مذکور به‌عنوان ژنوتیپ‌های ناپایدار بر اساس معیار  $NP_1^{(3)}$  تنارازو معرفی شدند. آماره چهارم تنارازو  $NP_1^{(4)}$  رقم سینا را به علت دارا بودن کمترین میزان این آماره، به‌عنوان ژنوتیپ پایدار و رقم پیرولا به دلیل دارا بودن بیشترین مقدار آماره مذکور، به‌عنوان ژنوتیپ ناپایدار بر اساس معیار  $NP_1^{(4)}$  تنارازو معرفی نمود. همان‌طور که در نتایج (جدول ۲) ملاحظه می‌گردد، آماره‌های دوم، سوم و چهارم تنارازو ژنوتیپ‌هایی را به‌عنوان ژنوتیپ‌های پایدار معرفی کردند که میانگین عملکرد قند پایینی داشتند؛ زیرا آماره‌های نامبرده با عملکرد قند رابطه مثبت معنی‌داری داشتند (شکل ۴) و از آنجایی که بر اساس آماره‌های ارائه‌شده توسط تنارازو، ژنوتیپی که مقادیر پایینی از این آماره برخوردار باشد، به‌عنوان ژنوتیپ پایدار شناخته می‌شود، لذا ژنوتیپ‌های با عملکرد پایین را به‌عنوان ژنوتیپ‌های پایدار و ژنوتیپ‌های با عملکرد بالا را به‌عنوان ژنوتیپ‌های ناپایدار معرفی می‌کنند. در پژوهش صباغ‌نیا و همکاران (۵۴)، محمدی و همکاران (۳۸)، عبداللهی و همکاران (۱)، عبادی صغرلو و همکاران (۱۲) و نوروزی و عبادی (۴۴) همبستگی بسیار بالایی بین چهار آماره ناپارامتری تنارازو برآورد شد که با توجه به تفاوت آماره  $NP_1^{(1)}$  با سه آماره دیگر در پژوهش حاضر، نتایج این پژوهش را تأیید نمی‌کند. فرشادفر و همکاران (۱۶) و کریمی‌زاده و همکاران (۲۹) گزارش کردند که همبستگی آماره  $NP_1^{(1)}$  با سایر آماره‌ها بسیار پایین می‌باشد و سه آماره دیگر دارای همبستگی بالایی با یکدیگر هستند که این نتایج کاملاً با نتایج این

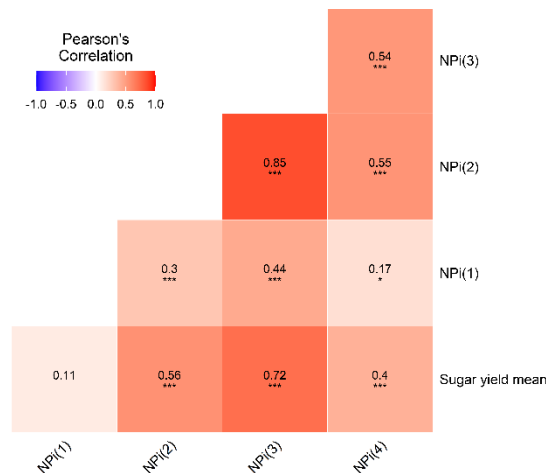
عملکرد قند هیبریدهای چغندر قند، به دلیل تأثیر بسزای برهمکنش ژنوتیپ- محیط موضوعی بسیار چالش برانگیز است که می‌توان با بهره‌برداری از برهمکنش مثبت ژنوتیپ- محیط و تقسیم‌بندی مناطق عمده کشت چغندر قند بر اساس شرایط محیطی مشابه، هیبریدهای پایدار برای هر محیط را شناسایی و از این اثر بهره جست.

می‌شوند. از طرف دیگر، لاین‌های گرده‌افشان تعدادی از هیبریدهای برتر، با توجه به پیش‌زمینه ژنتیکی آن‌ها مجدداً انتخاب و جهت بهبود و ارتقاء صفات کمی و کیفی، وارد چرخه‌های اصلاحی تکمیلی شده و از آن‌ها لاین‌های اینبرد جدید تهیه می‌گردد. نتایج این مطالعه با استفاده از روش‌های تجزیه پایداری مؤید آن است که افزایش کمی و کیفی



شکل ۳- نمودار حرارتی ضرایب همبستگی پیرسون میانگین عملکرد قند و آماره‌های ناپارامتری هان و نصار و هان (\*، \*\* و \*\*\*: معنی‌دار در سطح احتمال ۵، ۱ و ۰/۱ درصد)

Figure 3. Pearson correlation coefficients of mean sugar yield and non-parametric statistics of Huhn, Nassar and Huhn (\*, \*\* and \*\*\*: significant at the probability level of 5, 1 and 0.1%).



شکل ۴- نمودار حرارتی ضرایب همبستگی پیرسون میانگین عملکرد قند و آماره‌های ناپارامتری تنارازو (\*، \*\* و \*\*\*: معنی‌دار در سطح احتمال ۵، ۱ و ۰/۱ درصد)

Figure 4. Pearson correlation coefficients of mean sugar yield and non-parametric statistics of Thennarasu (\*, \*\* and \*\*\*: significant at the probability level of 5, 1 and 0.1%).



ادامه جدول ۲- نتایج تجزیه پایداری عملکرد قند بر اساس روش‌های پارامتری تک متغیره و روش‌های ناپارامتری تئارازو و هان در هیبریدهای چغندر قند آزمایشی

Continuation table 2. Sugar yield stability analysis based on univariate parametric methods and nonparametric methods of Thennarasu and Huhn in sugar beet hybrids

شماره	والدین		آماره‌های پارامتری تک متغیره										میانگین عملکرد قند (تن در هکتار)		♀	♂	
	♀	♂	MSFP	PJ	Eb	R <sub>i</sub> <sup>2</sup>	bi	W <sub>i</sub> <sup>2</sup>	CV <sub>i</sub>	S <sub>i</sub> <sup>(6)</sup>	S <sub>i</sub> <sup>(2)</sup>	S <sub>i</sub> <sup>(1)</sup>	NP <sub>i</sub> <sup>(4)</sup>	NP <sub>i</sub> <sup>(3)</sup>			NP <sub>i</sub> <sup>(2)</sup>
۴۵	۷۱۲ × SB36	S1 - 970027	-۱/۵۹	-۰/۶۵	۵/۴۲	-۰/۷۴	۱/۶۵	۳۸/۹۴	۳۰/۸۷	۱۳/۵۱	۲/۵۱	۳۰۶۲/۶۱	۶/۰۹	-۰/۱۲	۱/۰۵	۱/۸۱	۴۳/۴۲
۴۶	۷۱۱۲ × SB36	S1 - 970028	-۱/۲۲	-۰/۱۶	۵/۲۳	-۰/۵۹	۱/۱۶	۲۶/۸۵	۲۷/۸۶	۱۱/۷۵	۳/۶۱	۱۹۵/۹۰	۵/۲۸	-۰/۰۶	-۰/۵۹	-۰/۵۳	۴۲/۱۴
۴۷	۷۱۱۲ × SB36	S1 - 970029	-۰/۲۱	-۰/۶۶	-۰/۵۱	-۰/۴۱	۱۲/۶۲	۹/۴۰	۱۱/۶۸	۱۱/۶۸	۲/۴۱	۱۰۲/۵۳	۱/۴۷	-۰/۰۱	-۰/۴۶	-۰/۳۹	۳۰/۰۰
۴۸	۷۱۱۲ × SB36	S1 - 970030	-۰/۲۱	-۰/۶۶	-۰/۵۱	-۰/۴۱	۱۱/۸۸	۱۸/۸۶	۱۲/۷۱	۱۲/۷۱	۲/۰۲	۱۰۶/۹۷	۲/۰۴	-۰/۰۳	-۰/۶۳	-۰/۵۳	۲۷/۷۸
۴۹	۷۱۱۲ × SB36	S1 - 970031	-۰/۲۱	-۰/۶۶	-۰/۵۱	-۰/۴۱	۱۱/۸۸	۱۸/۸۶	۱۲/۷۱	۱۲/۷۱	۲/۹۳	۱۵۸/۷۹	۴/۲۸	-۰/۰۵	-۰/۶۶	-۰/۷۰	۳۷/۷۸
۵۰	۷۱۱۲ × SB36	S1 - 970032	-۰/۲۱	-۰/۶۶	-۰/۵۱	-۰/۴۱	۱۱/۸۸	۱۸/۸۶	۱۲/۷۱	۱۲/۷۱	۲/۲۳	۸۶/۹۰	۴/۳۳	-۰/۰۵	-۰/۴۴	-۰/۴۰	۳۷/۵۷
۵۱	۷۱۱۲ × SB36	S1 - 970034	-۰/۲۱	-۰/۶۶	-۰/۵۱	-۰/۴۱	۱۱/۸۸	۱۸/۸۶	۱۲/۷۱	۱۲/۷۱	۲/۰۵	۱۱۹/۴۲	۴/۴۲	-۰/۰۴	-۰/۴۲	-۰/۴۱	۳۴/۲۸
۵۲	۷۱۱۲ × SB36	S1 - 970035	-۰/۲۱	-۰/۶۶	-۰/۵۱	-۰/۴۱	۱۱/۸۸	۱۸/۸۶	۱۲/۷۱	۱۲/۷۱	۲/۶۶	۱۰۲/۸۵	۳/۶۶	-۰/۰۳	-۰/۴۵	-۰/۴۱	۳۴/۸۵
۵۳	۷۱۱۲ × SB36	S1 - 970036	-۰/۲۱	-۰/۶۶	-۰/۵۱	-۰/۴۱	۱۱/۸۸	۱۸/۸۶	۱۲/۷۱	۱۲/۷۱	۳/۶۱	۱۹۳/۰۶	۳/۲۳	-۰/۰۴	-۰/۷۰	-۰/۷۴	۴۶/۴۲
۵۴	۷۱۱۲ × SB36	S1 - 970037	-۰/۲۱	-۰/۶۶	-۰/۵۱	-۰/۴۱	۱۱/۸۸	۱۸/۸۶	۱۲/۷۱	۱۲/۷۱	۱/۹۶	۶۷/۳۸	۴/۶۱	-۰/۰۶	-۰/۴۷	-۰/۳۸	۲۸/۴۲
۵۵	۷۱۱۲ × SB36	S1 - 970038	-۰/۲۱	-۰/۶۶	-۰/۵۱	-۰/۴۱	۱۱/۸۸	۱۸/۸۶	۱۲/۷۱	۱۲/۷۱	۴/۸۱	۲۵۴/۸۸	۳/۷۶	-۰/۰۴	-۰/۶۳	-۰/۷۸	۱/۷۸
۵۶	۷۱۱۲ × SB36	S1 - 970039	-۰/۲۱	-۰/۶۶	-۰/۵۱	-۰/۴۱	۱۱/۸۸	۱۸/۸۶	۱۲/۷۱	۱۲/۷۱	۳/۶۰	۱۸۶/۳۲	۳/۰۰	-۰/۰۳	-۰/۵۱	-۰/۳۷	۳۸/۴۲
۵۷	۷۱۱۲ × SB36	S1 - 970040	-۰/۲۱	-۰/۶۶	-۰/۵۱	-۰/۴۱	۱۱/۸۸	۱۸/۸۶	۱۲/۷۱	۱۲/۷۱	۲/۴۵	۹۷/۷۱	۳/۷۶	-۰/۰۲	-۰/۳۱	-۰/۲۱	۳۲/۵۷
۵۸	۷۱۱۲ × SB36	S1 - 970041	-۰/۲۱	-۰/۶۶	-۰/۵۱	-۰/۴۱	۱۱/۸۸	۱۸/۸۶	۱۲/۷۱	۱۲/۷۱	۱/۹۴	۶۹/۵۴	۲/۱۴/۲۳	-۰/۰۲	-۰/۷۴	-۰/۵۹	۳۶/۰۰
۵۹	۷۱۱۲ × SB36	S1 - 970042	-۰/۲۱	-۰/۶۶	-۰/۵۱	-۰/۴۱	۱۱/۸۸	۱۸/۸۶	۱۲/۷۱	۱۲/۷۱	۲/۹۷	۸۳/۸۲	-۰/۶۱	-۰/۰۰	-۰/۲۸	-۰/۲۲	۲۳/۵۷
۶۰	۷۱۱۲ × SB36	S1 - 970043	-۰/۲۱	-۰/۶۶	-۰/۵۱	-۰/۴۱	۱۱/۸۸	۱۸/۸۶	۱۲/۷۱	۱۲/۷۱	۲/۲۵	۱۳۰/۲۸	۱/۷۶	-۰/۰۱	-۰/۴۳	-۰/۳۶	۳۴/۸۱
۶۱	۷۱۱۲ × SB36	S1 - 970044	-۰/۲۱	-۰/۶۶	-۰/۵۱	-۰/۴۱	۱۱/۸۸	۱۸/۸۶	۱۲/۷۱	۱۲/۷۱	۳/۲۵	۱۳۳/۰۴	۱/۵۲	-۰/۰۱	-۰/۵۳	-۰/۶۰	۳۹/۱۴
۶۲	۷۱۱۲ × SB36	S1 - 970045	-۰/۲۱	-۰/۶۶	-۰/۵۱	-۰/۴۱	۱۱/۸۸	۱۸/۸۶	۱۲/۷۱	۱۲/۷۱	۵/۴۳	۲۵۵/۰۹	۱/۳۸	-۰/۰۱	-۰/۴۹	-۰/۴۹	۳۶/۲۸
۶۳	۷۱۱۲ × SB36	S1 - 970046	-۰/۲۱	-۰/۶۶	-۰/۵۱	-۰/۴۱	۱۱/۸۸	۱۸/۸۶	۱۲/۷۱	۱۲/۷۱	۳/۵۷	۱۳۳/۸۹	-۰/۳۸	-۰/۰۰	-۰/۲۸	-۰/۱۸	۲۴/۰۰
۶۴	۷۱۱۲ × SB36	S1 - 970047	-۰/۲۱	-۰/۶۶	-۰/۵۱	-۰/۴۱	۱۱/۸۸	۱۸/۸۶	۱۲/۷۱	۱۲/۷۱	۴/۷۷	۲۵۰/۲۹	۵/۰۰	-۰/۰۴	-۰/۴۳	-۰/۲۴	۳۰/۴۲
۶۵	۷۱۱۲ × SB36	S1 - 970048	-۰/۲۱	-۰/۶۶	-۰/۵۱	-۰/۴۱	۱۱/۸۸	۱۸/۸۶	۱۲/۷۱	۱۲/۷۱	۴/۵۷	۳۳۴/۶۱	-۰/۸۱	-۰/۰۰	-۰/۵۸	-۰/۴۸	۳/۱۴
۶۶	۷۱۱۲ × SB36	S1 - 970049	-۰/۲۱	-۰/۶۶	-۰/۵۱	-۰/۴۱	۱۱/۸۸	۱۸/۸۶	۱۲/۷۱	۱۲/۷۱	۳/۶۵	۱۵۲/۷۲	۲/۶۶	-۰/۰۲	-۰/۲۶	-۰/۲۱	۲۶/۸۵
۶۷	۷۱۱۲ × SB36	S1 - 970050	-۰/۲۱	-۰/۶۶	-۰/۵۱	-۰/۴۱	۱۱/۸۸	۱۸/۸۶	۱۲/۷۱	۱۲/۷۱	۳/۸۱	۱۸۴/۵۹	۱/۷۱	-۰/۰۱	-۰/۴۶	-۰/۳۷	۳۷/۱۴
۶۸	۷۱۱۲ × SB36	S1 - 970051	-۰/۲۱	-۰/۶۶	-۰/۵۱	-۰/۴۱	۱۱/۸۸	۱۸/۸۶	۱۲/۷۱	۱۲/۷۱	۲/۸۱	۱۵۲/۶۶	۱/۳۳	-۰/۰۲	-۰/۵۶	-۰/۲۰	۵۳/۸۵
۶۹	۷۱۱۲ × SB36	S1 - 970052	-۰/۲۱	-۰/۶۶	-۰/۵۱	-۰/۴۱	۱۱/۸۸	۱۸/۸۶	۱۲/۷۱	۱۲/۷۱	۵/۱۷	۳۱۹/۲۵	۶/۵۷	-۰/۰۷	-۰/۶۷	-۰/۴۹	۵۳/۲۸
۷۰	۷۱۱۲ × SB36	S1 - 970053	-۰/۲۱	-۰/۶۶	-۰/۵۱	-۰/۴۱	۱۱/۸۸	۱۸/۸۶	۱۲/۷۱	۱۲/۷۱	۳/۰۷	۱۵۶/۹۵	۳/۴۷	-۰/۰۰	-۰/۶۰	-۰/۴۴	۳۷/۷۱
۷۱	۷۱۱۲ × SB36	S1 - 970054	-۰/۲۱	-۰/۶۶	-۰/۵۱	-۰/۴۱	۱۱/۸۸	۱۸/۸۶	۱۲/۷۱	۱۲/۷۱	۲/۲۵	۹۷/۶۷	۱/۳۳	-۰/۰۳	-۰/۴۴	-۰/۳۴	۲۸/۵۷
۷۲	۷۱۱۲ × SB36	S1 - 970055	-۰/۲۱	-۰/۶۶	-۰/۵۱	-۰/۴۱	۱۱/۸۸	۱۸/۸۶	۱۲/۷۱	۱۲/۷۱	۳/۹۱	۱۸۳/۸۴	۱/۵۲	-۰/۰۱	-۰/۵۱	-۰/۴۷	۴۲/۵۰
۷۳	۷۱۱۲ × SB36	S1 - 970056	-۰/۲۱	-۰/۶۶	-۰/۵۱	-۰/۴۱	۱۱/۸۸	۱۸/۸۶	۱۲/۷۱	۱۲/۷۱	۴/۲۸	۲۳۶/۹۱	۶/۷۱	-۰/۰۸	-۰/۶۹	-۰/۵۴	۵۱/۴۲
۷۴	۷۱۱۲ × SB36	S1 - 970057	-۰/۲۱	-۰/۶۶	-۰/۵۱	-۰/۴۱	۱۱/۸۸	۱۸/۸۶	۱۲/۷۱	۱۲/۷۱	۲/۱۴	۸۵/۶۷	۲/۶۶	-۰/۰۳	-۰/۴۴	-۰/۳۱	۳۷/۴۲
۷۵	۷۱۱۲ × SB36	S1 - 970058	-۰/۲۱	-۰/۶۶	-۰/۵۱	-۰/۴۱	۱۱/۸۸	۱۸/۸۶	۱۲/۷۱	۱۲/۷۱	۳/۶۸	۲۰۲/۸۹	۱/۱۴	-۰/۰۱	-۰/۵۱	-۰/۳۸	۳۷/۸۵
۷۶	۷۱۱۲ × SB36	S1 - 970059	-۰/۲۱	-۰/۶۶	-۰/۵۱	-۰/۴۱	۱۱/۸۸	۱۸/۸۶	۱۲/۷۱	۱۲/۷۱	۲/۶۸	۱۵۰/۲۶	۲/۴۷	-۰/۰۳	-۰/۶۹	-۰/۶۷	۳۶/۰۰
۷۷	۷۱۱۲ × SB36	S1 - 970060	-۰/۲۱	-۰/۶۶	-۰/۵۱	-۰/۴۱	۱۱/۸۸	۱۸/۸۶	۱۲/۷۱	۱۲/۷۱	۲/۵۶	۱۳۷/۸۰	۳/۰۴	-۰/۰۴	-۰/۶۰	-۰/۵۱	۳۵/۸۵
۷۸	۷۱۱۲ × SB36	S1 - 970062	-۰/۲۱	-۰/۶۶	-۰/۵۱	-۰/۴۱	۱۱/۸۸	۱۸/۸۶	۱۲/۷۱	۱۲/۷۱	۳/۱۶	۱۹۷/۵۲	۱/۱۴	-۰/۰۲	-۰/۱۵	-۰/۰۵	۸/۰۵
۷۹	۷۱۱۲ × SB36	S1 - 970063	-۰/۲۱	-۰/۶۶	-۰/۵۱	-۰/۴۱	۱۱/۸۸	۱۸/۸۶	۱۲/۷۱	۱۲/۷۱	۱/۴۹	۵۸/۰۶	۱/۷۶	-۰/۰۲	-۰/۴۷	-۰/۳۷	۲۴/۹۲
۸۰	۷۱۱۲ × SB36	S1 - 970064	-۰/۲۱	-۰/۶۶	-۰/۵۱	-۰/۴۱	۱۱/۸۸	۱۸/۸۶	۱۲/۷۱	۱۲/۷۱	۱/۷۴	۶۲/۹۶	۴/۴۷	-۰/۰۹	-۰/۷۷	-۰/۹۳	۳۰/۲۸
۸۱	۷۱۱۲ × SB36	S1 - 970065	-۰/۲۱	-۰/۶۶	-۰/۵۱	-۰/۴۱	۱۱/۸۸	۱۸/۸۶	۱۲/۷۱	۱۲/۷۱	۲/۵۰	۱۰۶/۰۹	۴۲۱/۹۰	-۰/۰۱	-۰/۱۷	-۰/۷۲	۵۳/۰۰
۸۲	۷۱۱۲ × SB36	S1 - 970066	-۰/۲۱	-۰/۶۶	-۰/۵۱	-۰/۴۱	۱۱/۸۸	۱۸/۸۶	۱۲/۷۱	۱۲/۷۱	۲/۱۹	۹۸/۳۷	۳/۱۶	-۰/۰۴	-۰/۵۸	-۰/۴۸	۱/۵۶
۸۳	۷۱۱۲ × SB36	S1 - 970067	-۰/۲۱	-۰/۶۶	-۰/۵۱	-۰/۴۱	۱۱/۸۸	۱۸/۸۶	۱۲/۷۱	۱۲/۷۱	۲/۶۸	۱۳۸/۰۶	۱/۴۷	-۰/۰۲	-۰/۶۲	-۰/۶۰	۳۳/۵۷
۸۴	۷۱۱۲ × SB36	S1 - 970068	-۰/۲۱	-۰/۶۶	-۰/۵۱	-۰/۴۱	۱۱/۸۸	۱۸/۸۶	۱۲/۷۱	۱۲/۷۱	۳/۳۴	۱۶۷/۳۰	۲/۳۳	-۰/۰۱	-۰/۵۶	-۰/۵۱	۴۱/۲۸
۸۵	۷۱۱۲ × SB36	S1 - 970069	-۰/۲۱	-۰/۶۶	-۰/۵۱	-۰/۴۱	۱۱/۸۸	۱۸/۸۶	۱۲/۷۱	۱۲/۷۱	۲/۵۹	۱۴۰/۱۵	۳/۱۹	-۰/۰۴	-۰/۷۰	-۰/۴۰	۴۱/۲۸
۸۶	۷۱۱۲ × SB36	S1 - 970070	-۰/۲۱	-۰/۶۶	-۰/۵۱	-۰/۴۱	۱۱/۸۸	۱۸/۸۶	۱۲/۷۱	۱۲/۷۱	۳/۲۱	۹۲/۷۱	۲/۸۱	-۰/۰۲	-۰/۳۵	-۰/۲۵	۲۹/۲۸
۸۷	۷۱۱۲ × SB36	S1 - 970071	-۰/۲۱	-۰/۶۶	-۰/۵۱	-۰/۴۱	۱۱/۸۸	۱۸/۸۶	۱۲/۷۱	۱۲/۷۱	۴/۱۰	۲۲۵/۳۳	۴/۱۴	-۰/۰۴	-۰/۵۹	-۰/۴۴	۴۴/۴۲
۸۸	۷۱۱۲ × SB36	S1 - 970072	-۰/۲۱	-۰/۶۶	-۰/۵۱	-۰/۴۱	۱۱/۸۸	۱۸/۸۶	۱۲/۷۱	۱۲/۷۱	۳/۴۴	۱۷۵/۷۱	۴/۰۹	-۰/۰۴	-۰/۴۶	-۰/۳۳	۳۴/۴۲

ادامه جدول ۲- نتایج تجزیه پایداری عملکرد قند بر اساس روش‌های پارامتری تک متغیره و روش‌های ناپارامتری تنارازو و هان در هیبریدهای چغندر قند آزمایشی

Continuation table 2. Sugar yield stability analysis based on univariate parametric methods and nonparametric methods of Thennarasu and Huhn in sugar beet hybrids

شماره	شجره		آماره‌های پارامتری تک متغیره										میانگین عملکرد قند (تن در هکتار)		♀	♂	شماره	
	♀	♂	MSFP	PJ	Eb	Ri2	bi	Wi2	CVi	NPi(4)	NPi(3)	NPi(2)	NPi(1)	Si(6)				Si(3)
۸۹	۱۲/۹۰	7112 × SB36	S1 - 970073	۱۲/۹۰	۱۲/۴۳	۱۵/۷۲	-۰/۴۵	-۰/۴۹	۱۵/۷۲	۱۲/۴۳	-۰/۳۲	-۰/۵۰	۱/۶۹	-۰/۴۵	-۰/۴۹	۱۵/۷۲	۱۲/۴۳	۱۲/۹۰
۹۰	۱۳/۷۲	7112 × SB36	S1 - 970074	۱۳/۷۲	۱۹/۷۹	۱۶/۵۳	-۰/۶۳	-۰/۹۹	۱۶/۵۳	۱۹/۷۹	-۲/۳۲	-۰/۰۱	۳/۳۱	-۰/۶۳	-۰/۹۹	۱۶/۵۳	۱۹/۷۹	۱۳/۷۲
۹۱	۱۱/۴۹	7112 × SB36	S1 - 970075	۱۱/۴۹	۳۸/۱۵	۴۰/۶۰	-۰/۷۷	-۰/۷۷	۱/۷۴	۳۸/۱۵	-۱/۷۹	-۰/۷۴	۵/۰۱	-۰/۷۷	-۰/۷۷	۱/۷۴	۳۸/۱۵	۱۱/۴۹
۹۲	۱۳/۳۶	7112 × SB36	S1 - 970076	۱۳/۳۶	۳۲/۰۲	۳۵/۵۴	-۰/۸۰	-۰/۸۴	۱/۸۰	۳۵/۵۴	-۳/۱۷	-۰/۰۰	۳/۴۵	-۰/۸۰	-۰/۸۴	۱/۸۰	۳۵/۵۴	۱۳/۳۶
۹۳	۱۲/۶۰	7112 × SB36	S1 - 970077	۱۲/۶۰	۲۹/۱۸	۶۶/۶۸	-۰/۷۵	-۰/۷۵	۶۶/۶۸	۲۹/۱۸	۹/۰۵	-۰/۲۵	۱۲/۹۹	-۰/۷۵	-۰/۷۵	۶۶/۶۸	۲۹/۱۸	۱۲/۶۰
۹۴	۱۲/۳۷	7112 × SB36	S1 - 970078	۱۲/۳۷	۱۹/۲۲	۷/۸۳	-۰/۹۶	-۰/۷۷	۷/۸۳	۱۹/۲۲	-۳/۹۰	-۰/۰۴	۱/۵۶	-۰/۷۷	-۰/۹۶	۷/۸۳	۱۹/۲۲	۱۲/۳۷
۹۵	۱۳/۴۴	7112 × SB36	S1 - 970079	۱۳/۴۴	۱۶/۸۳	۲۲/۶۱	-۰/۶۴	-۰/۶۴	۲۲/۶۱	۱۶/۸۳	-۱/۸۶	-۰/۳۶	۳/۷۹	-۰/۶۴	-۰/۶۴	۲۲/۶۱	۱۶/۸۳	۱۳/۴۴
۹۶	۱۵/۱۱	7112 × SB36	S1 - 970080	۱۵/۱۱	۱۵/۶۶	۱۰/۱۸	-۰/۹۱	-۰/۷۰	۱۰/۱۸	۱۵/۶۶	-۳/۱۶	-۰/۰۹	۱/۹۹	-۰/۷۰	-۰/۹۱	۱۰/۱۸	۱۵/۶۶	۱۵/۱۱
۹۷	۱۱/۸۲	7112 × SB36	S1 - 970081	۱۱/۸۲	۲۴/۹۳	۲۲/۰۵	-۰/۰۳	-۰/۵۸	۲۲/۰۵	۲۴/۹۳	-۱/۴۵	-۰/۰۳	۴/۴۱	-۰/۵۸	-۰/۰۳	۲۲/۰۵	۲۴/۹۳	۱۱/۸۲
۹۸	۱۲/۶۷	7112 × SB36	S1 - 970082	۱۲/۶۷	۲۸/۴۷	۳/۰۶	-۰/۳۳	-۰/۶۵	۱/۳۳	۲۸/۴۷	-۱/۴۹	-۰/۳۳	۵/۴۸	-۰/۶۵	-۰/۳۳	۳/۰۶	۲۸/۴۷	۱۲/۶۷
۹۹	۱۱/۷۴	7112 × SB36	S1 - 970083	۱۱/۷۴	۲۸/۱۱	۲۷/۵۵	-۰/۹۶	-۰/۵۹	۱/۶۶	۲۸/۱۱	-۱/۱۷	-۰/۱۷	۵/۳۲	-۰/۹۶	-۰/۵۹	۱/۶۶	۲۸/۱۱	۱۱/۷۴
۱۰۰	۱۲/۵۱	7112 × SB36	S1 - 970084	۱۲/۵۱	۳۹/۹۵	۵۴/۳۸	-۰/۸۰	-۰/۸۰	۲/۱۸	۳۹/۹۵	-۱/۵۳	۱/۱۸	۲/۹۹	-۰/۸۰	-۰/۸۰	۲/۱۸	۳۹/۹۵	۱۲/۵۱
۱۰۱	۱۱/۲۵	7112 × SB36	S1 - 970085	۱۱/۲۵	۲۵/۲۵	۱۲/۰۴	-۰/۷۴	-۰/۷۴	۱/۳۳	۲۵/۲۵	-۳/۸۲	-۰/۱۳	۲/۵۲	-۰/۷۴	-۰/۷۴	۱/۳۳	۲۵/۲۵	۱۱/۲۵
۱۰۲	۱۱/۸۵	7112 × SB36	S1 - 970087	۱۱/۸۵	۳۳/۶۴	۴۶/۵۳	-۰/۵۱	-۰/۵۱	۴۶/۵۳	۳۳/۶۴	-۱/۴۰	-۰/۴۹	۷/۹۴	-۰/۵۱	-۰/۵۱	۴۶/۵۳	۳۳/۶۴	۱۱/۸۵
۱۰۳	۱۰/۹۹	7112 × SB36	S1 - 970088	۱۰/۹۹	۳۰/۰۲	۵۱/۲۵	-۰/۷۵	-۰/۷۵	۵۱/۲۵	۳۰/۰۲	۶/۰۰	-۰/۲۵	۹/۸۸	-۰/۷۵	-۰/۷۵	۵۱/۲۵	۳۰/۰۲	۱۰/۹۹
۱۰۴	۱۱/۶۹	7112 × SB36	S1 - 970089	۱۱/۶۹	۳۶/۳۷	۳۰/۱۱	-۰/۸۷	-۰/۹۲	۱/۸۷	۳۶/۳۷	-۴/۶۳	-۰/۸۷	۱/۷۲	-۰/۹۲	-۰/۹۲	۳۰/۱۱	۳۶/۳۷	۱۱/۶۹
۱۰۵	۱۱/۸۰	7112 × SB36	S1 - 970090	۱۱/۸۰	۱۹/۲۷	۳۱/۲۰	-۰/۵۰	-۰/۳۳	۳۱/۲۰	۱۹/۲۷	۳/۴۰	-۰/۵۰	۴/۸۰	-۰/۳۳	-۰/۳۳	۳۱/۲۰	۱۹/۲۷	۱۱/۸۰
۱۰۶	۱۱/۵۹	7112 × SB36	S1 - 970091	۱۱/۵۹	۱۹/۷۰	۱۹/۲۵	-۰/۷۱	-۰/۶۶	۱۹/۲۵	۱۹/۷۰	-۱/۱۷	-۰/۲۹	۳/۳۹	-۰/۶۶	-۰/۷۱	۱۹/۲۵	۱۹/۷۰	۱۱/۵۹
۱۰۷	۱۳/۱۷	7112 × SB36	S1 - 970092	۱۳/۱۷	۳۱/۳۳	۳۱/۲۹	-۰/۷۴	-۰/۸۴	۱/۷۴	۳۱/۳۳	-۲/۶۲	-۰/۷۴	۳/۱۸	-۰/۸۴	-۰/۸۴	۳۱/۲۹	۳۱/۳۳	۱۳/۱۷
۱۰۸	۱۱/۹۱	7112 × SB36	S1 - 970093	۱۱/۹۱	۳۷/۸۱	۱۲/۴۴	-۰/۹۳	-۰/۸۹	۱/۴۳	۳۷/۸۱	-۵/۶۷	-۰/۴۳	۱/۴۴	-۰/۸۹	-۰/۹۳	۱۲/۴۴	۳۷/۸۱	۱۱/۹۱
۱۰۹	۱۲/۲۴	7112 × SB36	S1 - 970094	۱۲/۲۴	۲۶/۳۸	۱۴/۲۴	-۰/۷۱	-۰/۷۱	۱/۲۵	۲۶/۳۸	-۲/۲۰	-۰/۲۵	۳/۷۰	-۰/۷۱	-۰/۷۱	۱۴/۲۴	۲۶/۳۸	۱۲/۲۴
۱۱۰	۱۲/۶۲	7112 × SB36	S1 - 970095	۱۲/۶۲	۲۴/۶۹	۹/۳۵	-۰/۳۶	-۰/۹۰	۱/۳۶	۲۴/۶۹	-۵/۸۸	-۰/۳۶	۱/۱۴	-۰/۹۰	-۰/۹۰	۹/۳۵	۲۴/۶۹	۱۲/۶۲
۱۱۱	۱۳/۲۷	7112 × SB36	S1 - 970096	۱۳/۲۷	۲۶/۲۵	۳۳/۲۲	-۰/۶۹	-۰/۶۹	۱/۹۱	۲۶/۲۵	-۱/۱۷	-۰/۱۷	۶/۴۳	-۰/۶۹	-۰/۶۹	۳۳/۲۲	۲۶/۲۵	۱۳/۲۷
۱۱۲	۱۱/۹۹	7112 × SB36	S1 - 970098	۱۱/۹۹	۲۶/۳۸	۱۴/۲۴	-۰/۷۱	-۰/۷۱	۱/۲۵	۲۶/۳۸	-۱/۱۷	-۰/۲۹	۳/۳۹	-۰/۷۱	-۰/۷۱	۱۴/۲۴	۲۶/۳۸	۱۱/۹۹
۱۱۳	۱۳/۸۴	7112 × SB36	S1 - 970099	۱۳/۸۴	۲۰/۲۴	۲۷/۵۷	-۰/۸۴	-۰/۸۴	۲/۵۷	۱۳/۸۴	-۱/۲۲	-۰/۱۶	۵/۳۷	-۰/۸۴	-۰/۸۴	۲/۵۷	۲۰/۲۴	۱۳/۸۴
۱۱۴	۱۰/۹۷	7112 × SB36	S1 - 970100	۱۰/۹۷	۳۷/۱۹	۴۰/۸۸	-۰/۷۲	-۰/۷۲	۴۰/۸۸	۳۷/۱۹	۴/۰۸	-۰/۲۸	۷/۷۳	-۰/۷۲	-۰/۷۲	۴۰/۸۸	۳۷/۱۹	۱۰/۹۷
۱۱۵	۱۱/۲۱	7112 × SB36	S1 - 970101	۱۱/۲۱	۳۱/۲۹	۲۰/۸۸	-۰/۸۹	-۰/۸۹	۱/۴۳	۳۱/۲۹	-۳/۹۷	-۰/۴۳	۳/۱۳	-۰/۸۹	-۰/۸۹	۲۰/۸۸	۳۱/۲۹	۱۱/۲۱
۱۱۶	۱۲/۴۲	7112 × SB36	S1 - 970103	۱۲/۴۲	۱۱/۳۱	۱۲/۶۳	-۰/۴۹	-۰/۵۷	۱/۰۳	۱۲/۴۲	-۱/۲۳	-۰/۵۱	۱/۰۳	-۰/۵۷	-۰/۴۹	۱۲/۶۳	۱۱/۳۱	۱۲/۴۲
۱۱۷	۱۱/۴۷	7112 × SB36	S1 - 970104	۱۱/۴۷	۳۳/۵۰	۳۷/۲۸	-۰/۶۲	-۰/۶۲	۱/۳۹	۳۳/۵۰	-۳/۳۴	-۰/۳۹	۶/۷۲	-۰/۶۲	-۰/۶۲	۳۷/۲۸	۳۳/۵۰	۱۱/۴۷
۱۱۸	۱۰/۱۵	7112 × SB36	S1 - 970106	۱۰/۱۵	۳۲/۹۱	۲۱/۶۶	-۰/۷۲	-۰/۷۲	۱/۳۰	۳۲/۹۱	-۳/۱۴	-۰/۳۰	۳/۷۶	-۰/۷۲	-۰/۷۲	۲۱/۶۶	۳۲/۹۱	۱۰/۱۵
۱۱۹	۱۲/۲۵	7112 × SB36	S1 - 970107	۱۲/۲۵	۲۹/۲۰	۱۴/۹۳	-۰/۵۸	-۰/۹۳	۱/۵۸	۲۹/۲۰	-۶/۰۴	-۰/۵۸	۱/۰۵	-۰/۹۳	-۰/۹۳	۱۴/۹۳	۲۹/۲۰	۱۲/۲۵
۱۲۰	۱۰/۰۴	7112 × SB36	S1 - 970108	۱۰/۰۴	۳۷/۹۴	۲۷/۶۱	-۰/۹۰	-۰/۹۰	۲۷/۶۱	۳۷/۹۴	-۱/۱۹	-۰/۱۰	۴/۸۶	-۰/۹۰	-۰/۹۰	۲۷/۶۱	۳۷/۹۴	۱۰/۰۴
۱۲۱	۱۲/۴۴	7112 × SB36	S1 - 970109	۱۲/۴۴	۲۱/۱۷	۵/۲۶	-۰/۹۳	-۰/۹۳	۱/۱۴	۲۱/۱۷	-۵/۴۳	-۰/۹۳	۳/۸۵	-۰/۹۳	-۰/۹۳	۵/۲۶	۲۱/۱۷	۱۲/۴۴
۱۲۲	۱۰/۹۶	7112 × SB36	S1 - 970110	۱۰/۹۶	۳۰/۴۸	۲۰/۴۸	-۰/۶۷	-۰/۶۷	۱/۲۵	۳۰/۴۸	-۲/۲۹	-۰/۲۵	۴/۴۸	-۰/۶۷	-۰/۶۷	۲۰/۴۸	۳۰/۴۸	۱۰/۹۶
۱۲۳	۱۱/۵۲	7112 × SB36	S1 - 970112	۱۱/۵۲	۱۲/۳۷	۵/۸۰	-۰/۶۱	-۰/۸۸	۵/۸۰	۱۲/۳۷	-۲/۳۱	-۰/۳۹	۲/۵۷	-۰/۶۱	-۰/۸۸	۵/۸۰	۱۲/۳۷	۱۱/۵۲
۱۲۴	۱۲/۳۲	7112 × SB36	S1 - 970116	۱۲/۳۲	۲۰/۸۴	۳۹/۵۲	-۰/۵۰	-۰/۵۰	۳۹/۵۲	۲۰/۸۴	۵/۰۵	-۰/۵۰	۶/۴۸	-۰/۵۰	-۰/۵۰	۳۹/۵۲	۲۰/۸۴	۱۲/۳۲
۱۲۵	۱۱/۸۸	7112 × SB36	S1 - 970117	۱۱/۸۸	۳۳/۸۵	۳۵/۰۶	-۰/۷۴	-۰/۷۴	۱/۵۹	۳۳/۸۵	-۲/۰۳	-۰/۵۹	۵/۰۶	-۰/۷۴	-۰/۷۴	۳۵/۰۶	۳۳/۸۵	۱۱/۸۸
۱۲۶	۱۳/۲۶	7112 × SB36	S1 - 970118	۱۳/۲۶	۴۳/۵۳	۸۴/۱۶	-۰/۸۴	-۰/۸۴	۲/۳۷	۴۳/۵۳	۳/۳۳	۱/۳۷	۶/۱۶	-۰/۸۴	-۰/۸۴	۸۴/۱۶	۴۳/۵۳	۱۳/۲۶
۱۲۷	۹/۹۹	7112 × SB36	S1 - 970119	۹/۹۹	۲۵/۰۴	۸/۰۲	-۰/۰۲	-۰/۰۲	۸/۰۲	۲۵/۰۴	-۴/۲۰	-۰/۰۲	۱/۶۰	-۰/۰۲	-۰/۰۲	۸/۰۲	۲۵/۰۴	۹/۹۹
۱۲۸	۱۳/۴۲	7112 × SB36	S1 - 970121	۱۳/۴۲	۳۳/۸۶	۱۴/۹۰	-۰/۹۳	-۰/۹۳	۱/۲۲	۳۳/۸۶	-۴/۵۳	-۰/۳۲	۲/۴۱	-۰/۹۳	-۰/۹۳	۱۴/۹۰	۳۳/۸۶	۱۳/۴۲
۱۲۹	۱۲/۹۰	7112 × SB36	S1 - 970123	۱۲/۹۰	۳۳/۰۱	۲۸/۶۴	-۰/۸۴	-۰/۸۴	۲۸/۶۴	۱۲/۹۰	-۱/۸۴	-۰/۱۴	۳/۳۸	-۰/۸۴	-۰/۸۴	۲۸/۶۴	۳۳/۰۱	۱۲/۹۰
۱۳۰	۱۲/۷۲	7112 × SB36	S1 - 970124	۱۲/۷۲	۲۸/۸۳	۱۸/۴۵	-۰/۸۹	-۰/۸۹	۱/۵۹	۲۸/۸۳	-۵/۳۸	-۰/۵۹	۱/۷۰	-۰/۸۹	-۰/۸۹	۱۸/۴۵	۲۸/۸۳	۱۲/۷۲
۱۳۱	۱۱/۸۷	7112 × SB36	S1 - 970125	۱۱/۸۷	۳۳/۹۳	۳۹/۹۴	-۰/۶۶	-۰/۶۶	۱/۵۱	۳۳/۹۳	-۱/۶۱	-۰/۵۱	۶/۵۲	-۰/۶۶	-۰/۶۶	۳۹/۹۴	۳۳/۹۳	۱۱/۸۷
۱۳۲	۱۱/۸۸	7112 × SB36	S1 - 970126	۱۱/۸۸	۲۴/۸۶	۱۲/۹۳	-۰/۷۷	-۰/۷۷	۱/۱۹	۲۴/۸۶	-۴/۲۱	-۰/۱۹	۲/۳۸	-۰/۷۷	-۰/۷۷	۱۲/۹۳	۲۴/۸۶	۱۱/۸۸

ادامه جدول ۲- نتایج تجزیه پایداری عملکرد قند بر اساس روش‌های پارامتری تک متغیره و روش‌های ناپارامتری تنازرو و هان در هیبریدهای چغندر قند آزمایشی  
 Continuation table 2. Sugar yield stability analysis based on univariate parametric methods and nonparametric methods of Thennarasu and Huhn in sugar beet hybrids

اماره ناپارامتری هان				اماره ناپارامتری تنازرو				اماره‌های پارامتری تک متغیره					میانگین عملکرد		والدین / شاهد		شماره	
Si(6)	Si(3)	Si(2)	Si(1)	NPi(4)	NPi(3)	NPi(2)	NPi(1)	MSFP	PJ	Eb	Ri2	bi	Wi2	CVi	قند (تن در هکتار)	♀		♂
۳/۳۱	۱۶۳/۸۰	۲۱۳۱/۵۶	۲/۲۸	-۰/۰۲	-۰/۴۳	-۰/۳۲	۳۳/۶۴	-۲/۳۶	-۰/۳۸	۳/۶۹	-۰/۷۵	۱/۳۸	۲۲/۶۵	۳۰/۹۳	۱۱/۲۸	7112 × SB36	S1 - 970127	۱۳۳
۲/۴۸	۱۰۸/۵۹	۱۹۲۲/۸۱	۴/۹۵	-۰/۰۶	-۰/۵۳	-۰/۴۰	۳۲/۲۸	-۰/۱۴	-۰/۱۶	۴/۷۷	-۰/۴۶	-۰/۸۴	۲۴/۵۸	۲۲/۳۴	۱۲/۱۶	7112 × SB36	S1 - 970128	۱۳۴
۳/۵۳	۱۸۱/۱۲	۲۴۶۱/۹۰	۳/۶۶	-۰/۰۴	-۰/۵۱	-۰/۴۶	۳۶/۸۵	-۱/۷۸	-۰/۰۸	۴/۳۲	-۰/۶۰	۱/۰۸	۲۱/۷۶	۲۶/۱۰	۱۱/۵۶	7112 × SB36	S1 - 970131	۱۳۵
۳/۳۱	۱۹۳/۰۴	۳۱۱۶/۹۵	-۰/۱۴	-۰/۰۰	-۰/۷۶	۱/۰۳	۳۹/۱۴	-۰/۹۲	-۰/۹۴	۶/۹۳	-۰/۷۶	۱/۹۴	۶۰/۰۲	۳۹/۸۵	۱۲/۲۲	7112 × SB36	S1 - 970132	۱۳۶
۳/۸۱	۲۳۱/۷۲	۲۴۲۲/۹۵	۱/۳۸	-۰/۰۱	-۰/۴۴	-۰/۳۴	۳۷/۲۸	-۰/۷۴	-۰/۰۹	۶/۹۳	-۰/۵۰	۱/۰۹	۳۴/۸۹	۳۱/۲۳	۱۰/۸۴	7112 × SB36	S1 - 970133	۱۳۷
۳/۰۳	۱۳۰/۸۱	۱۵۱۶/۲۸	۲/۲۳	-۰/۰۲	-۰/۳۷	-۰/۲۲	۲۴/۷۱	۱/۱۴	-۰/۵۸	۱/۵۶	-۰/۳۹	-۰/۴۱	۱۷/۵۴	۱۲/۶۱	۱۱/۵۴	428-P.395 × 201-9		۱۳۸
۲/۷۵	۲۳۲/۸۷	۲۵۷۹/۹۰	۲/۲۳	-۰/۰۳	-۰/۷۱	-۰/۶۶	۴۰/۲۸	۴/۴۲	-۰/۸۳	۱/۳۹	-۰/۱۰	-۰/۱۷	۲۶/۷۹	۹/۳۳	۱۲/۱۴	428-P.395 × 301-11		۱۳۹
۴/۶۶	۲۳۲/۶۸	۲۷۲۶/۸۱	-۰/۹۵	-۰/۰۰	-۰/۴۵	-۰/۲۹	۳۷/۱۴	۴/۵۶	-۰/۱۰	۱۰/۷۵	-۰/۳۹	۱/۱۰	۵۴/۰۰	۳۵/۹۵	۱۰/۶۵	428-P.395 × 301-28		۱۴۰
۱/۸۶	۷۷/۵۸	۱۷۳۲/۶۱	۱/۷۶	-۰/۰۳	-۰/۶۵	-۰/۵۹	۳۱/۸۵	-۰/۴۷	-۰/۳۶	۳/۳۹	-۰/۴۱	-۰/۶۴	۲۰/۶۲	۱۷/۱۵	۱۲/۷۴	428-P.395 × 921059		۱۴۱
۵/۴۶	۲۳۲/۰۱	۱۹۸۰/۵۷	۳/۹۰	-۰/۰۳	-۰/۳۴	-۰/۲۲	۳۲/۰۰	-۱/۱۵	-۰/۱۸	۳/۳۶	-۰/۵۳	-۰/۸۲	۱۷/۶۸	۲۳/۹۹	۱۰/۲۲	428-P.395 × 940023		۱۴۲
۳/۷۸	۲۳۹/۱۰	۴۱۴۲/۴۷	۲/۴۲	-۰/۰۳	-۰/۷۹	-۰/۷۵	۵۰/۱۴	۱۶/۸۰	-۱/۱۲	۸/۹۰	-۰/۰۱	-۰/۱۲	۸۰/۴۷	۲۱/۳۹	۱۲/۷۹	428-P.395 × 940028		۱۴۳
۳/۸۴	۲۶۹/۸۲	۴۲۴۱/۶۱	۵/۰۰	-۰/۰۷	-۰/۸۵	-۰/۷۹	۴۵/۸۵	۱۴/۵۰	-۰/۹۱	۱۰/۲۸	-۰/۰۰	-۰/۰۹	۷۵/۰۶	۲۴/۷۴	۱۱/۸۶	428-P.395 × 940171		۱۴۴
۳/۳۶	۱۹۴/۸۹	۳۵۸۳/۴۷	۱/۱۴	-۰/۰۱	-۰/۸۵	۱/۱۳	۴۶/۷۱	۵/۵۵	-۰/۰۸	۱۰/۷۶	-۰/۳۱	-۰/۹۲	۵۳/۹۹	۲۷/۷۱	۱۳/۰۱	428-P.395 × 940171		۱۴۵
۳/۲۱	۱۴۷/۶۸	۳۳۳۹/۲۸	۴/۷۶	-۰/۰۵	-۰/۴۹	-۰/۴۳	۳۲/۸۵	۳/۲۹	-۰/۷۹	-۰/۹۳	-۰/۲۱	-۰/۲۱	۲۲/۴۲	۸/۲۸	۱۱/۳۹	428-P.395 × 940184		۱۴۶
۳/۹۱	۲۰۶/۳۸	۳۳۰۴/۹۵	۱/۵۲	-۰/۰۱	-۰/۶۷	-۰/۴۷	۴۶/۷۱	۵/۹۹	-۰/۵۸	۶/۴۸	-۰/۱۳	-۰/۴۲	۴۱/۹۶	۲۰/۶۹	۱۲/۰۷	428-P.395 × 201-9		۱۴۷
۴/۴۵	۲۴۰/۳۳	۲۹۸۳/۰۰	۵/۹۵	-۰/۰۶	-۰/۵۱	-۰/۴۶	۴۳/۱۴	۶/۹۹	-۰/۹۴	۲/۳۶	-۰/۰۱	-۰/۰۶	۳۶/۷۶	۱۲/۵۵	۱۱/۲۳	428-P.395 × 301-11		۱۴۸
۳/۷۶	۱۴۹/۶۹	۲۰۰۸/۹۵	۲/۱۹	-۰/۰۱	-۰/۳۶	-۰/۳۰	۳۴/۵۷	-۰/۰۵	-۰/۱۹	۴/۴۹	-۰/۴۶	-۰/۸۱	۲۳/۴۳	۲۵/۱۲	۱۰/۴۴	428-P.395 × 301-28		۱۴۹
۳/۴۵	۱۱۱/۵۰	۲۰۰۸/۵۷	۳/۳۳	-۰/۰۳	-۰/۳۸	-۰/۳۶	۳۷/۵۷	-۱/۴۶	-۰/۲۷	۲/۲۸	-۰/۵۷	-۰/۷۳	۱۳/۴۶	۱۹/۹۲	۱۰/۵۶	428-P.395 × 921059		۱۵۰
۳/۵۲	۱۱۳/۸۸	۱۱۴۳/۵۷	۲/۰۰	-۰/۰۱	-۰/۲۹	-۰/۲۹	۲۷/۵۷	-۴/۹۳	-۰/۱۰	۱/۳۰	-۰/۸۴	۱/۱۰	۶/۷۹	۲۳/۷۴	۱۱/۰۴	428-P.395 × 940023		۱۵۱
۳/۲۶	۱۸۶/۲۲	۴۱۸۹/۲۸	۳/۸۱	-۰/۰۶	-۰/۹۴	-۰/۹۲	۵۱/۴۲	۱۲/۶۱	-۰/۰۱	۱۸/۲۶	-۰/۲۳	-۰/۹۹	۹۱/۳۰	۳۲/۸۸	۱۳/۵۶	428-P.395 × 940028		۱۵۲
۴/۸۴	۲۸۸/۸۹	۳۳۵۵/۲۸	۷/۰۹	-۰/۰۷	-۰/۵۶	-۰/۳۳	۳۹/۴۲	۹/۵۷	-۰/۱۹	۱۳/۹۶	-۰/۲۱	-۰/۸۱	۷۰/۸۵	۳۲/۶۰	۱۱/۷۷	428-P.395 × 940171		۱۵۳
۱/۷۲	۵۱/۰۲	۱۰۴۵/۹۵	۳/۹۰	-۰/۰۵	-۰/۳۹	-۰/۳۶	۲۵/۱۴	-۴/۰۸	-۰/۰۱	۱/۵۸	-۰/۷۸	-۰/۹۹	۷/۹۱	۲۰/۴۱	۱۲/۰۱	428-P.395 × 940171		۱۵۴
۴/۷۳	۲۶۱/۲۶	۳۲۱۸/۶۵	۲/۶۴	-۰/۰۲	-۰/۴۹	-۰/۴۱	۴۴/۹۲	۲/۷۴	-۰/۲۸	۶/۴۲	-۰/۳۲	-۰/۷۲	۳۴/۳۰	۲۶/۵۰	۱۰/۵۶	428-P.395 × 940184		۱۵۵
۱/۸۸	۵۱/۰۹	۹۰۸/۲۳	-۰/۰۰	-۰/۰۰	-۰/۳۳	-۰/۲۶	۲۲/۴۲	-۲/۶۴	-۰/۱۸	-۰/۸۴	-۰/۸۲	-۰/۸۲	۵/۱۲	۱۶/۸۹	۱۱/۶۶	Sina		۱۵۶
۳/۴۸	۱۷۶/۰۴	۲۸۴۰/۲۸	۶/۳۳	-۰/۰۷	-۰/۶۰	-۰/۳۸	۳۹/۰۰	۴/۰۵	-۰/۵۳	۵/۰۹	-۰/۲۰	-۰/۴۷	۳۳/۵۴	۱۸/۸۱	۱۲/۲۱	Novodoro		۱۵۷
۳/۴۹	۱۶۲/۸۴	۱۹۵۳/۱۴	-۰/۴۷	-۰/۰۰	-۰/۴۲	-۰/۲۸	۳۲/۰۰	۲/۷۷	-۰/۷۳	۱/۳۴	-۰/۲۵	-۰/۲۷	۲۱/۴۹	۱۰/۴۶	۱۱/۲۱	Modex		۱۵۸
-۰/۵۱	۷/۸۰	۱۱۶۰/۶۱	۱/۹۰	-۰/۰۷	۱/۲۲	۱/۰۱	۲۸/۲۸	-۲/۳۷	-۰/۲۰	-۰/۹۴	-۰/۷۹	-۰/۸۰	۵/۸۷	۱۳/۷۱	۱۴/۲۳	Loriquet		۱۵۹
۱/۵۷	۸۶/۶۶	۳۳۲۳/۴۷	۶/۷۶	-۰/۲۵	۱/۹۸	۵/۲۳	۴۱/۸۵	۱/۸۷	-۰/۲۸	۸/۷۲	-۰/۵۲	۱/۲۸	۴۵/۷۸	۲۵/۷۰	۱۵/۰۸	Pirola		۱۶۰

♀: والد مادری، ♂: والد پدری، CVi: ضریب تغییرات محیطی، Wi<sup>2</sup>: اکووالانس ریک، bi: ضریب رگرسیونی فیلی و ویلکینسون، Ri<sup>2</sup>: ضریب تبیین پنتوس، Eb: انحراف از خط رگرسیون ابرهات و راسل، PJ: رگرسیون تصحیح شده پرکینز و جینکز و MSFP: انحراف از شیب خط رگرسیون مستقل فریمن و پرکینز.

## منابع

1. Abdulahi, A., R. Mohammadi and S.S. Pourdad. 2007. Evaluation of safflower (*Carthamus* spp.) genotypes in multi-environment trials by nonparametric methods. *Asian Journal of Plant Sciences*, 6: 827-832.
2. Aberkane, H., A. Amri, B. Belkadi, A. Filali-Maltouf, J. Valkoun and Z. Kehel. 2021. Contribution of Wild Relatives to Durum Wheat (*Triticum turgidum* subsp. *durum*) Yield Stability across Contrasted Environments. *Agronomy*, 11(10): 1992.
3. Akcura, M. and Y. Kaya. 2008. Nonparametric stability methods for interpreting genotype by environment interaction of bread wheat genotypes (*Triticum aestivum* L.). *Genetics and Molecular Biology*, 31(4): 906-913.
4. Akçura, M., Y. Kaya and S. Taner. 2005. Genotype-environment interaction and phenotypic stability analysis for grain yield of durum wheat in the Central Anatolian Region. *Turkish Journal of Agriculture and Forestry*, 29(5): 369-375.
5. Alizadeh, B., A. Rezaizad, M. Yazdandoost Hamedani, G. Shiresmaeili, F. Nasserghadimi and H. R. Khademhamzeh. 2021. Investigation of genotype× environment interaction and seed yield stability of rapeseed genotypes in cold and mild cold regions of Iran. *Plant Genetic Researches*, 7(2): 65-82.
6. Annicchiarico, P. 2002. Genotype x environment interactions: challenges and opportunities for plant breeding and cultivar recommendations. *Food & Agriculture Org.*
7. Anonymous. 2020. Agriculture-Iran-Statistics. <https://www.maj.ir/Dorsapax/userfiles/Sub65/Amarnamehj1-97-98-site.pdf>
8. Anonymous. 2020. Agriculture-Iran-Statistics .
9. Baker, R. 1988. Tests for crossover genotype-environmental interactions. *Canadian Journal of plant science*, 68(2): 405-410.
10. Becker, H. and J. Leon. 1988. Stability analysis in plant breeding. *Plant Breeding*, 101(1): 1-23.
11. Duraisam, R., K. Salelgn and A. K. Berekete. 2017. Production of beet sugar and bio-ethanol from sugar beet and its bagasse: a review. *Int J Eng Trends Technol*, 43(4): 222-233.
12. Ebadi-Segherloo, A., S. H. Sabaghpour, H. Dehghani and M. Kamrani. 2008. Non-parametric measures of phenotypic stability in chickpea genotypes (*Cicer arietinum* L.). *Euphytica*, 162(2): 221-229.
13. Eberhart, S. and W. Russell. 1966. Stability parameters for comparing varieties 1. *Crop Science*, 6(1): 36-40.
14. FAO. 2021. Plant production and area harvested.
15. Farshadfar, E. 1997. Application of quantitative genetics in plant breeding., Kermanshah, Iran, Taq Bostan Publications, 381 pp.
16. Farshadfar, E., S. H. Sabaghpour and H. Zali. 2012. Comparison of parametric and non-parametric stability statistics for selecting stable chickpea (*Cicer arietinum* L.) genotypes under diverse environments. *Australian Journal of Crop Science*, 6(3): 514-524.
17. Finlay, K. and G. Wilkinson. 1963. The analysis of adaptation in a plant-breeding programme. *Australian Journal of Agricultural Research*, 14(6): 742-754.
18. Flores, F., M. Moreno and J. Cubero. 1998. A comparison of univariate and multivariate methods to analyze G× E interaction. *Field crops research*, 56(3): 271-286.
19. Fox, P., B. Skovmand, B. Thompson, H.-J. Braun and R. Cormier. 1990. Yield and adaptation of hexaploid spring triticale. *Euphytica*, 47(1): 57-64.
20. Francis, T. and L. Kannenberg. 1978. Yield stability studies in short-season maize. I. A descriptive method for grouping genotypes. *Canadian Journal of Plant Science*, 58(4): 1029-1034.
21. Freeman, G. and J. M. Perkins. 1971. Environmental and genotype-environmental components of variability VIII. Relations between genotypes grown in different environments and measures of these environments. *Heredity*, 27(1): 15-23.
22. Hashim, N., M.Y. Rafii, Y. Oladosu, M.R. Ismail, A. Ramli, F. Arolu and S. Chukwu. 2021. Integrating multivariate and univariate statistical models to investigate genotype-environment interaction of advanced fragrant rice genotypes under rainfed condition. *Sustainability*, 13(8): 4555.
23. Huehn, M. 1990. Nonparametric measures of phenotypic stability. Part 1: Theory. *Euphytica*, 47(3): 189-194.
24. Hühn, M. and J. Léon. 1995. Nonparametric analysis of cultivar performance trials: experimental results and comparison of different procedures based on ranks. *Agronomy journal*, 87(4): 627-632.
25. Kang, M. 2004. Breeding: genotype by environment interaction. In 'Encyclopedia of plant and crop science'. (Ed. RM Goodman). Marcel Dekker: New York, 218-221 pp.

26. Kang, M. and J. Miller. 1984. Genotype×environment interactions for cane and sugar yield and their implications in sugarcane breeding 1. *Crop Science*, 24(3): 435-440.
27. Kang, M.S. 1991. Modified rank-sum method for selecting high yielding, stable crop genotypes. *Cereal Research Communications*: 361-364.
28. Kang, M.S. 1997. Using genotype-by-environment interaction for crop cultivar development. *Advances in agronomy*, 62(1): 199-252.
29. Karimizadeh, R., A. Asghari, O. Sofalian, K. Shahbazi, T. Hosseinpour, H. Ghoghogh and M. Armion. 2019. Identification of the most stable durum wheat genotypes using nonparametric yield stability statistics. *Journal of Crop Production and Processing*, 9(1): 189-203.
30. Kaya, Y. and S. Taner. 2003. Estimating genotypic ranks by nonparametric stability analysis in bread wheat (*Triticum aestivum* L.). *Journal of Central European Agriculture*, 4(1): 47-54.
31. Kaya, Y. and M. Turkoz. 2015. Evaluation of genotype by environment interaction for grain yield in durum wheat using non-parametric stability statistics. *Bulgarian Journal of Agricultural Science*, 21(1): 134-144.
32. Kilic, H., M. AKÇURA and H. AKTAŞ. 2010. Assessment of parametric and non-parametric methods for selecting stable and adapted durum wheat genotypes in multi-environments. *Notulae Botanicae Horti Agrobotanici Cluj-Napoca*, 38(3): 271-279.
33. Kunz, M., D. Martin and H. Puke. 2002. Precision of beet analyses in Germany explained for polarization. *Zuckerindustrie*, 127(1): 13-21.
34. Leiva-Eriksson, N., P.A. Pin, T. Kraft, J.C. Dohm, A.E. Minoche, H. Himmelbauer and L. Bülow. 2014. Differential Expression Patterns of Non-Symbiotic Hemoglobins in Sugar Beet (*Beta vulgaris* ssp. *vulgaris*). *Plant and Cell Physiology*, 55(4): 834-844.
35. Lin, C.S., M.R. Binns and L.P. Lefkovich. 1986. Stability analysis: where do we stand? 1. *Crop Science*, 26(5): 894-900.
36. Lu, H.Y. 1995. PC-SAS program for estimating Hühn's nonparametric stability statistics. *Agronomy Journal*, 87(5): 888-891.
37. McMichael, B. and J. Quisenberry. 1993. The impact of the soil environment on the growth of root systems. *Environmental and experimental botany*, 33(1): 53-61.
38. Mohammadi, R., A. Abdulahi, R. Haghparast, M. Aghaee and M. Rostae. 2007. Nonparametric methods for evaluating of winter wheat genotypes in multi-environment trials. *World J. Agric. Sci*, 3(2): 137-242.
39. Mohammadi, R. and A. Amri. 2008. Comparison of parametric and non-parametric methods for selecting stable and adapted durum wheat genotypes in variable environments. *Euphytica*, 159(3): 419-432.
40. Mohammadi, S.A. 2001. Analysis of genetic diversity in indian maize inbred lines using microsatellite markers a thesis. Indian Agricultural Research Institute; New Delhi.
41. Monteiro, F., L. Frese, S. Castro, M.C. Duarte, O.S. Paulo, J. Loureiro and M.M. Romeiras. 2018. Genetic and genomic tools to assist sugar beet improvement: the value of the crop wild relatives. *Frontiers in plant science*, 9: 74-90.
42. Movahhedi, Z., H. Dehghani and M. Mofidian. 2010. A study of yield stability in cold region ecotypes of alfalfa (*Medicago sativa* L.) through non-parametric measures. *Iranian Journal of Field Crop Science*, 40(4): 103-111.
43. Nassar, R. and M. Huehn. 1987. Studies on estimation of phenotypic stability: Tests of significance for nonparametric measures of phenotypic stability. *Biometrics*, 1: 45-53.
44. Noruzi, E. and A. Ebadi. 2015. Comparison of parametric and non-parametric methods for analysing genotype× environment interactions in sunflower (*Helianthus annuus* L.) inbred lines. *Jordan Journal of Agricultural Sciences*, 11(4): 959-979.
45. Pardo, A., M. Amato and F.Q. Chiarandà. 2000. Relationships between soil structure, root distribution and water uptake of chickpea (*Cicer arietinum* L.). *Plant growth and water distribution. European Journal of Agronomy*, 13(1): 39-45.
46. Perkins, J.M. and J. Jinks. 1968. Environmental and genotype-environmental components of variability. *Heredity*, 23(3): 356-359.
47. Pinthus, M.J. 1973. Estimate of genotypic value: A proposed method. *Euphytica*, 22(1): 121-123.
48. Raiger, H. and V. Prabhakaran. 2001. A study on the performance of a few non-parametric stability measures using pearl-millet data. *Indian J. Genet*, 61(1): 7-11.
49. Ranji, Z., M. Mesbah, R. Amiri and S. Vahedi. 2005. Study on the efficiency of AMMI method and pattern analysis for determination of stability in sugar beet varieties. *Iranian Journal of Crop Science*, 7(1): 1-20.

50. Ribeiro, I.C., C. Pinheiro, C.M. Ribeiro, M.M. Veloso, M.C. Simoes-Costa, I. Evaristo, O.S. Paulo and C.P. Ricardo. 2016. Genetic diversity and physiological performance of Portuguese wild beet (*Beta vulgaris* spp. *maritima*) from three contrasting habitats. *Frontiers in plant science*, 7: 1293.
51. Romagosa, I. and P. Fox. 1993. Genotype by environment interaction and adaptation. p. 373-390. MD Hayward et al.(ed.) *Plant breeding: Principles and prospects*. Chapman and Hall, London. Genotype by environment interaction and adaptation. p. 373-390. In MD Hayward et al.(ed.) *Plant breeding: Principles and prospects*. Chapman and Hall, London.
52. Rommer, T. 1917. Sind die ertragreichereren sorten ertragssicherer. *DGL-Mitt*, 32(1): 87-89.
53. Roustaei, M., M. Moghaddam and S. Mahfozi. 1996. Comparison of methods for estimating stability parameters for selection in stable and high yielding wheat and barley cultivars in Iranian drylands. *Isfahan University of Technology*, 159 p.
54. Sabaghnia, N., H. Dehghani and S.H. Sabaghpour. 2006. Nonparametric methods for interpreting genotype× environment interaction of lentil genotypes. *Crop Science*, 46(3): 1100-1106.
55. Shukla, G. 1972. Some statistical aspects of partitioning genotype environmental components of variability. *Heredity*, 29(2): 237-245.
56. Signor, C.E.L., S. Dousse, J. Lorgeou, J.B. Denis, R. Bonhomme, P. Carolo and A. Charcosset. 2001. Interpretation of genotype× environment interactions for early maize hybrids over 12 years. *Crop Science*, 41(3): 663-669.
57. Tardieu, F. 2013. Plant response to environmental conditions: assessing potential production, water demand, and negative effects of water deficit. *Frontiers in physiology*, 4(17): 1-11.
58. Temesgen, T., G. Keneni, T. Sefera and M. Jarso. 2015. Yield stability and relationships among stability parameters in faba bean (*Vicia faba* L.) genotypes. *The crop journal*, 3(3): 258-268.
59. Thennarasu, K. 1995. On Certain Non-Parametric Procedures For Studying Genotype-Environmentinteractions. And Yield Stability. IARI, Division of Agricultural Statistics: New Delhi.
60. Wricke, G. 1692. Uber eine Methode zur Erfassung der okologischen Streubreite in Feldverzuchen. *Z. pflanzenzuchtg*, 47: 92-96.
61. Zali, H., E. Farshadfar, S.H. Sabaghpour and R. Karimizadeh. 2012. Evaluation of genotype× environment interaction in chickpea using measures of stability from AMMI model. *Annals of Biological Research*, 3(7): 3126-3136.

## Utilization of Univariate Parametric and non-Parametric Methods in the Stability Analysis of Sugar Yield in Sugar Beet (*Beta vulgaris* L.) Hybrids

Ali Saremirad<sup>1</sup> and Dariush Taleghani<sup>2</sup>

1- Plant Breeding Ph. D. Department of Agronomy and Plant Breeding, Young Researchers and Elite Club, Karaj Branch, Islamic Azad University, Karaj, Iran, (Corresponding author: Asaremirad@gmail.com)

2- Associate Professor of Sugar Beet Seed Institute (SBSI), Agricultural Research Education and Extension (AREEO), Karaj, Iran

Received: 28 November, 2021 Accepted: 14 December, 2021

### Extended Abstract

**Introduction and Objective:** Sugar is a tonic that produces a large amount of energy in the diet of the world's population. The position of sugar beet in providing part of the sugar required by human society is not hidden from anyone. Given the needs of society, breeding sugar beet hybrids that is high in quantity and quality is inevitable. In addition to plant genetics and environmental factors, the interaction between genotype-environment by affecting various aspects of plant processes, ultimately causes non-uniformity of performance in different environmental conditions. Therefore, the present study was conducted to investigate the stability of different sugar beet hybrids.

**Material and Methods:** 155 sugar beet hybrids were obtained as a result of crossing the 155 inbred lines with the commercial monogerm male sterile single cross under code SB36 71 7112. Monogerm hybrids were planted in seven regions of Khoy, Shiraz, Karaj, Kermanshah, Mashhad, Miandoab and Hamedan in 2020 in an augmented randomize complete design with one internal control (Sina) and four external controls (Novodoro, Modex, Loriquet, and Pirola). After harvesting and estimating the sugar yield of each hybrid, the stability analysis of this trait was performed using univariate parametric and non-parametric methods.

**Results:** Stability analysis of sugar yield of genotypes based on parametric statistics of environmental coefficient of variation 146, 139 and 47 genotypes, Wricks equivalence 6 and 18 genotypes, Finlay and Wilkinson coefficient of regression 126 and 100 hybrids, explanation coefficient of Pinthus 59, 6, 104 hybrids, Perkins and Jenks regression model 8 and 143 hybrids introduced as the most stable hybrids.

Non- parametric methods of the sum of ranks of Kang 96 hybrid and Loriquet cultivar, Fox criterion Pirola cultivar, Huhn criteria 96 and 18 hybrids and Loriquet cultivar and Thennarasu criteria 18, 6, 63 and 127 hybrids and Sina cultivar were introduced as the genotypes with good stability.

**Conclusion:** The results of the present study indicated that the genotype-environment interaction overshadows the quantitative and qualitative performance characteristics of sugar beet hybrids, so this should be considered when breeding new hybrids; Because, estimating the genotype-environment interaction makes it possible to decide on breeding in general or specific adaptation that depends on the stability of performance in a limited or wide range of environmental conditions and take an effective step to develop cultivars that are stable and adaptable with the target environment.

**Keywords:** Adaptability and Sugar Beet, Eberhart and Russell, Interaction, Statistics